

# [Abbildungen = Images]

Objekttyp: **Appendix**

Zeitschrift: **Bericht der Eidgenössischen Kommission zur Überwachung der Radioaktivität**

Band (Jahr): **12 (1968)**

PDF erstellt am: **25.06.2024**

## **Nutzungsbedingungen**

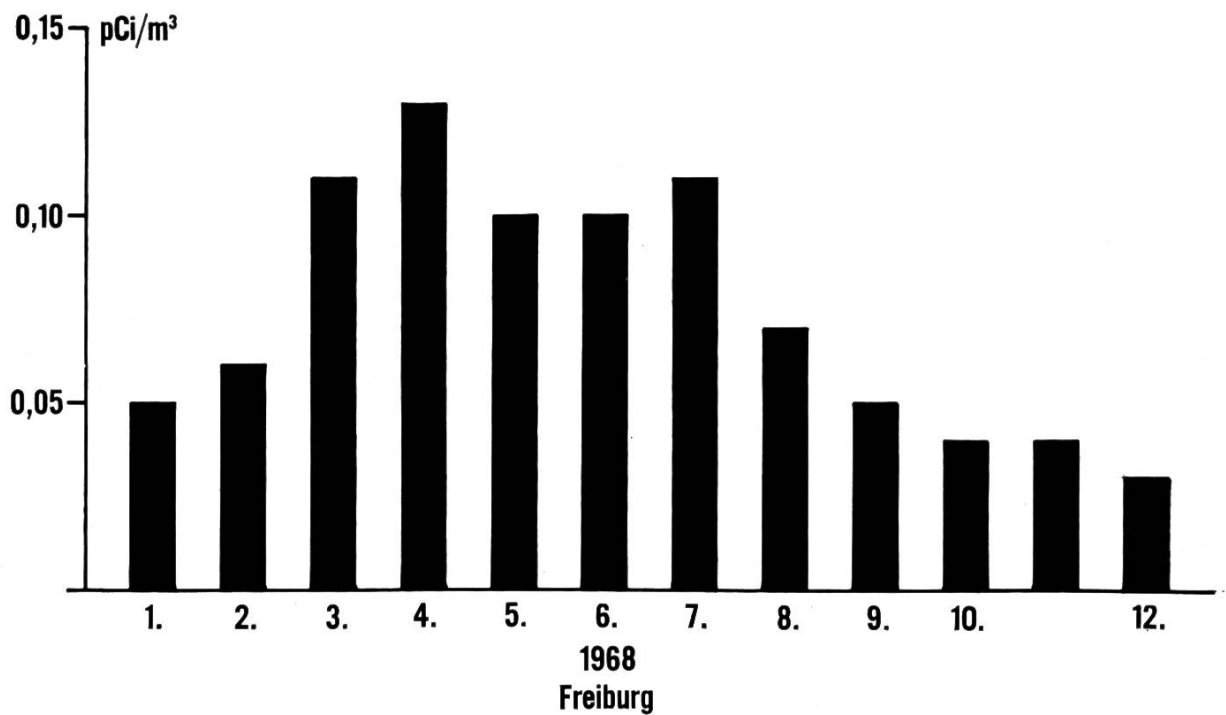
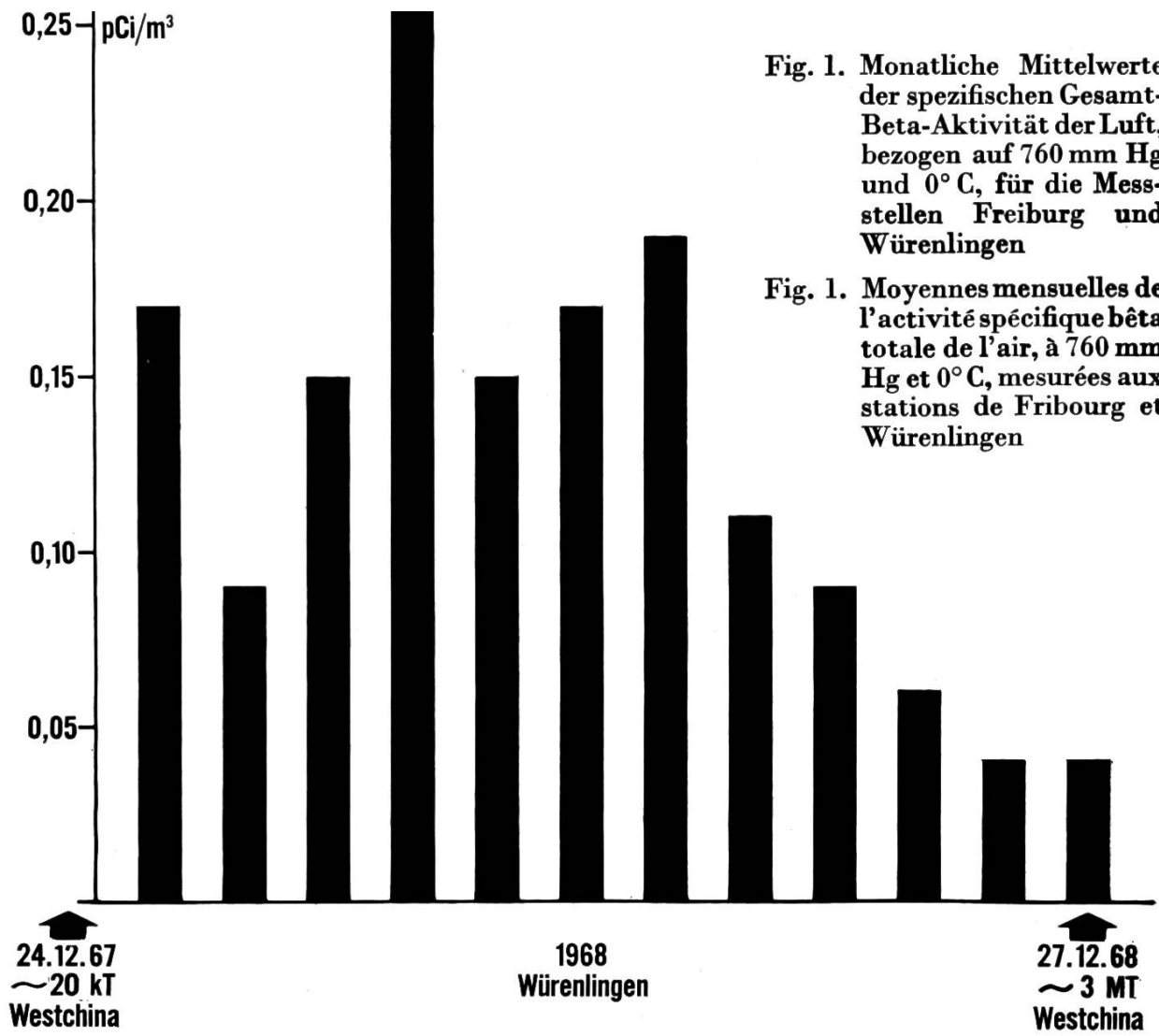
Die ETH-Bibliothek ist Anbieterin der digitalisierten Zeitschriften. Sie besitzt keine Urheberrechte an den Inhalten der Zeitschriften. Die Rechte liegen in der Regel bei den Herausgebern.

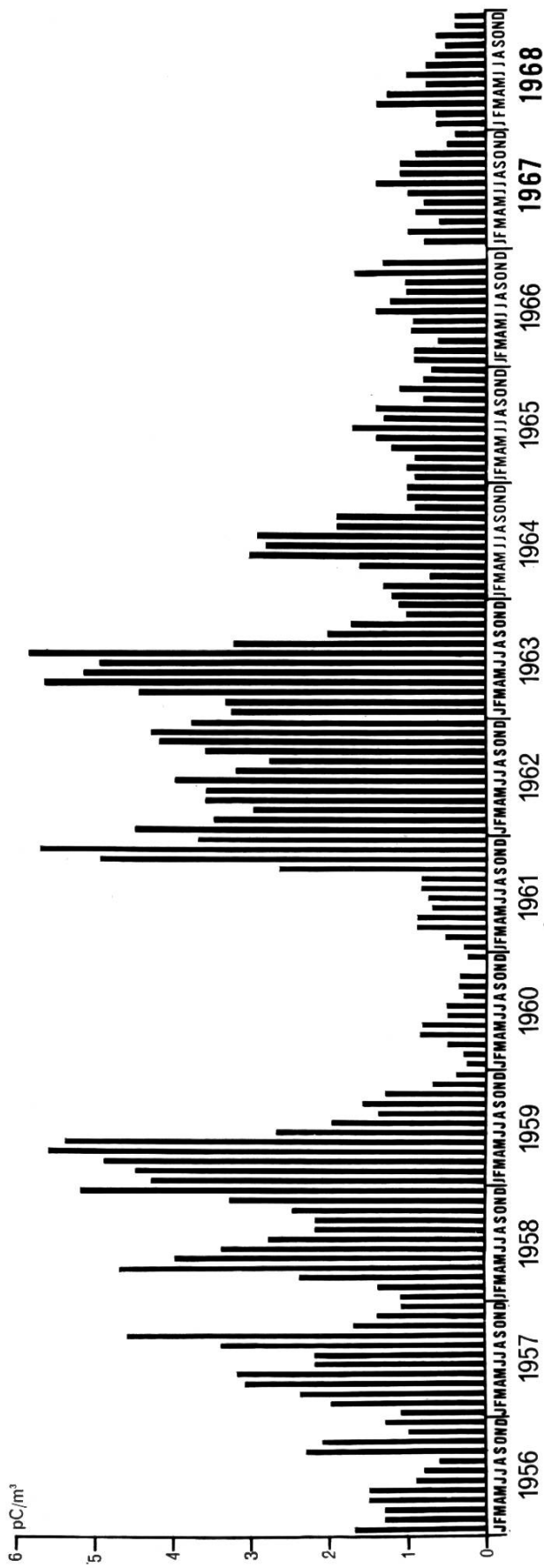
Die auf der Plattform e-periodica veröffentlichten Dokumente stehen für nicht-kommerzielle Zwecke in Lehre und Forschung sowie für die private Nutzung frei zur Verfügung. Einzelne Dateien oder Ausdrucke aus diesem Angebot können zusammen mit diesen Nutzungsbedingungen und den korrekten Herkunftsbezeichnungen weitergegeben werden.

Das Veröffentlichen von Bildern in Print- und Online-Publikationen ist nur mit vorheriger Genehmigung der Rechteinhaber erlaubt. Die systematische Speicherung von Teilen des elektronischen Angebots auf anderen Servern bedarf ebenfalls des schriftlichen Einverständnisses der Rechteinhaber.

## **Haftungsausschluss**

Alle Angaben erfolgen ohne Gewähr für Vollständigkeit oder Richtigkeit. Es wird keine Haftung übernommen für Schäden durch die Verwendung von Informationen aus diesem Online-Angebot oder durch das Fehlen von Informationen. Dies gilt auch für Inhalte Dritter, die über dieses Angebot zugänglich sind.





**Fig. 2. Monatliche Mittelwerte der spezifischen Gesamt-Beta-Aktivität der Luft, bezogen auf 760 mm Hg und 0° C, für die Messstelle Payerne von 1956 bis 1968**

**Fig. 2. Moyennes mensuelles de l'activité spécifique bêta totale de l'air, à 760 mm Hg et 0° C, mesurées à la station de Payerne de 1956 à 1968**

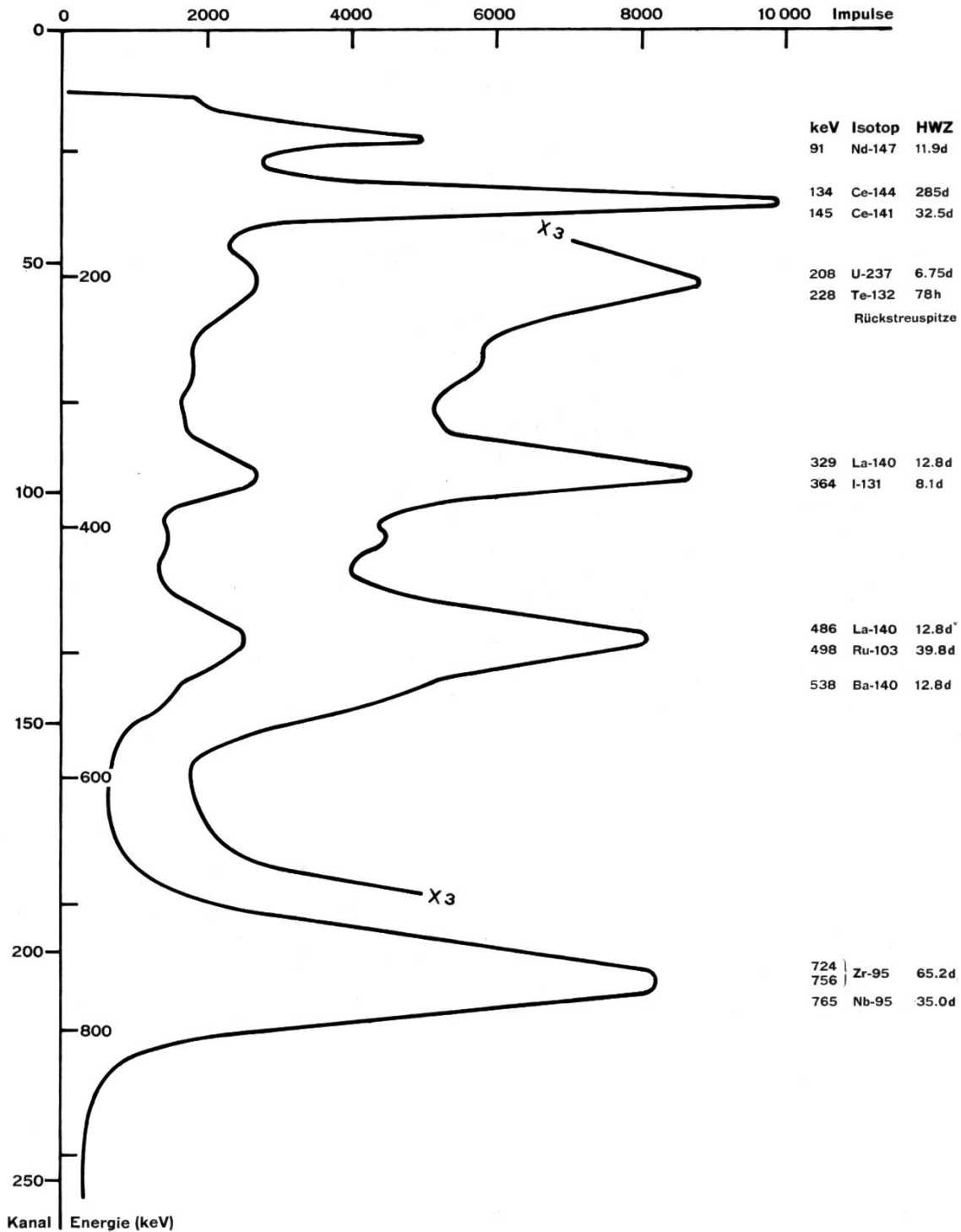


Fig. 3. Gammaskopie einer Probe A der chinesischen Atombombenexplosion vom 24.12.67, gemessen am 25.1.68 mit einem Na-I-Bohrloch-Kristall von  $4,5 \times 5$  Zoll

Fig. 3. Spectre gamma d'un échantillon A de la bombe atomique chinoise du 24.12.67, mesuré le 25.1.68 avec un cristal percé de Na-I de  $4,5 \times 5$  pouces

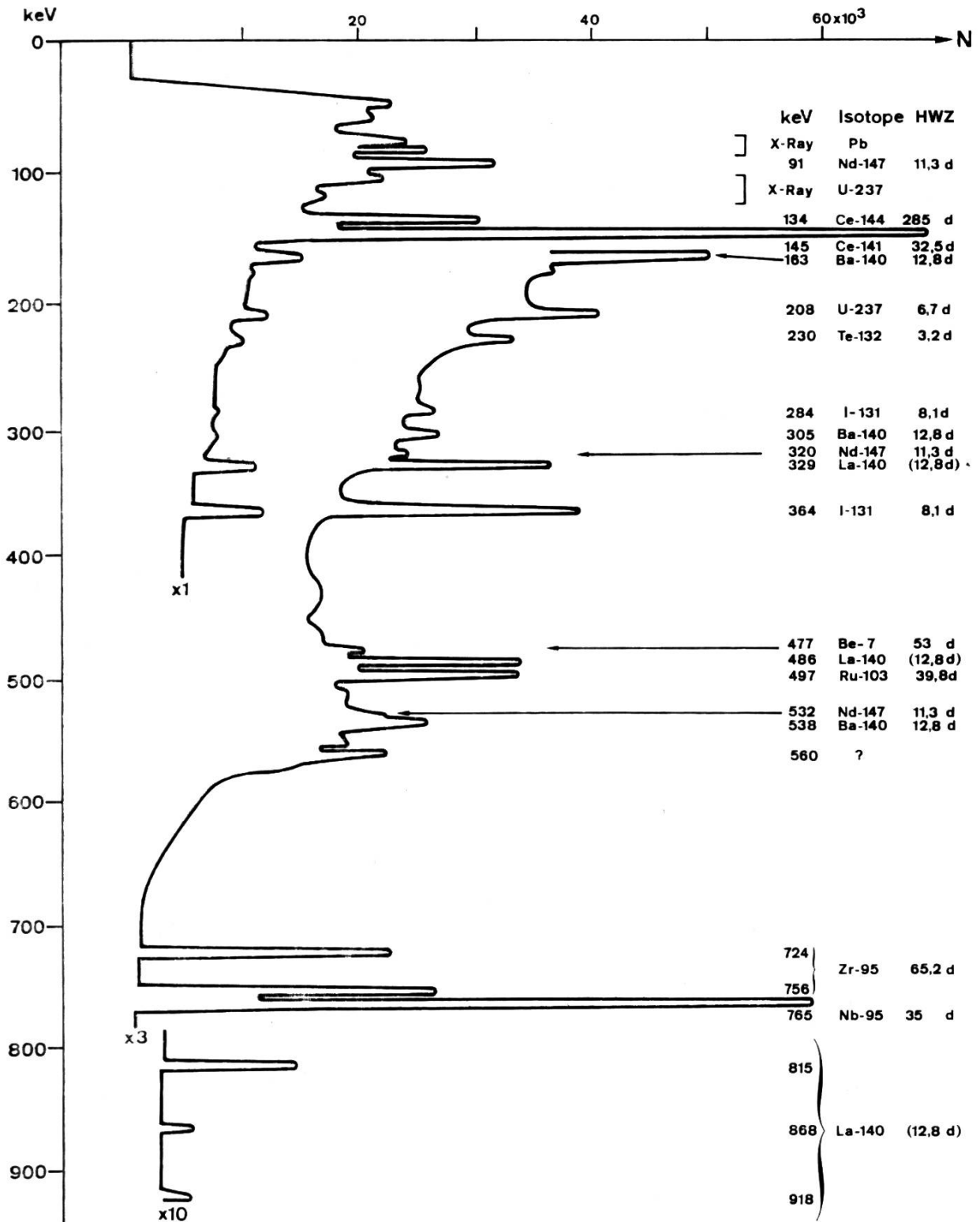


Fig. 4. Gammaspektrum einer Probe A der chinesischen Atombombenexplosion vom 24.12.67, gemessen am 22.1.68 mit einer Ge(Li)-Koaxialdiode (6 KeV Auflösung) und einem 512-Kanal-Analysator

Fig. 4. Spectre gamma d'un échantillon A de la bombe atomique chinoise du 24.12.67, mesuré le 22.1.68 avec une diode coaxiale Ge(Li) (résolution 6 KeV) et un analyseur à 512 canaux

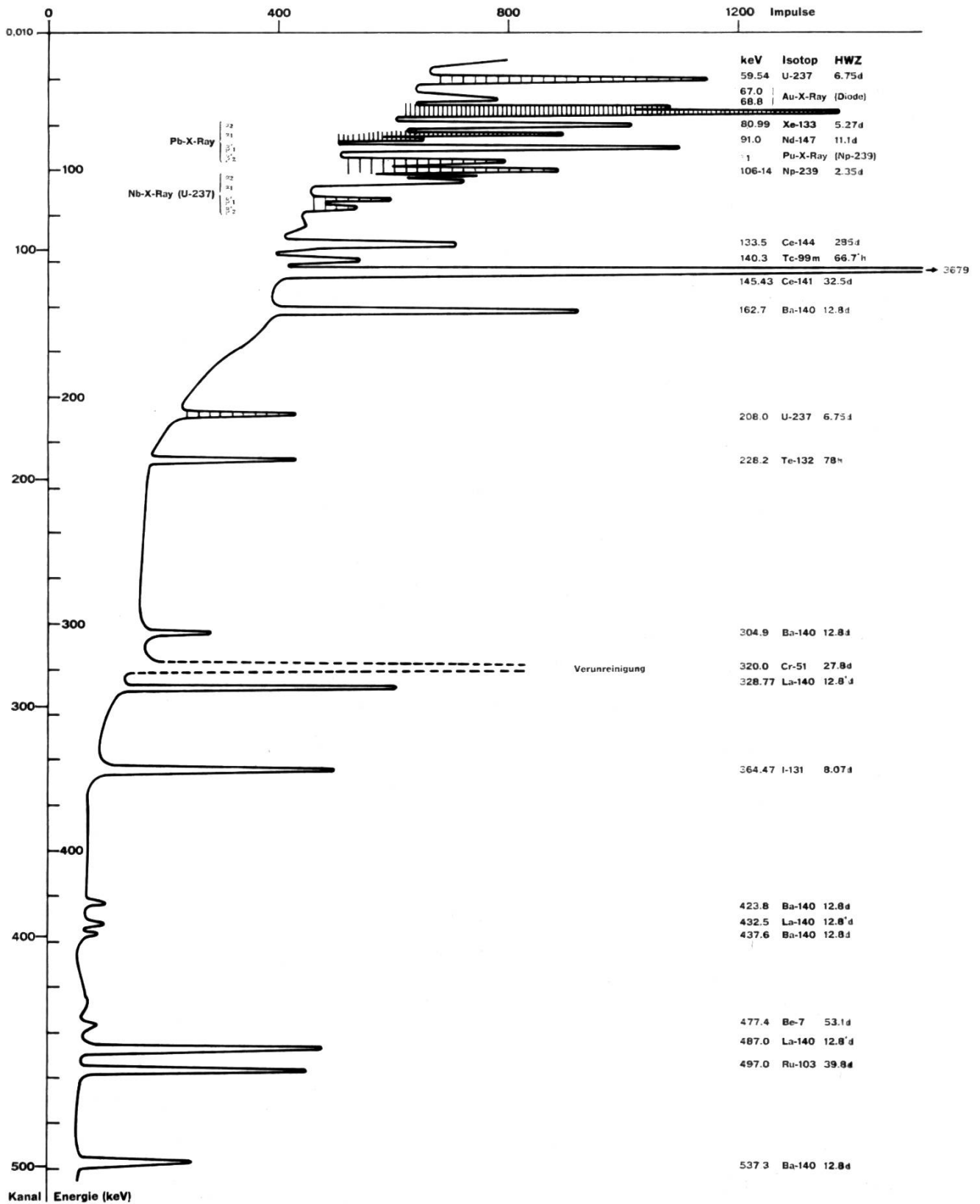


Fig. 5. Gammaspektrum einer Probe B der chinesischen Atombombenexplosion vom 24.12.67, gemessen am 18.1.68 mit einer Ge(Li)-Planardiode (1,7 KeV Auflösung) und einem 512-Kanal-Analysator

Fig. 5. Spectre gamma d'un échantillon B de la bombe atomique chinoise du 24.12.67, mesuré le 18.1.68 avec une diode plane Ge(Li) (résolution 1,7 KeV) et un analyseur à 512 canaux

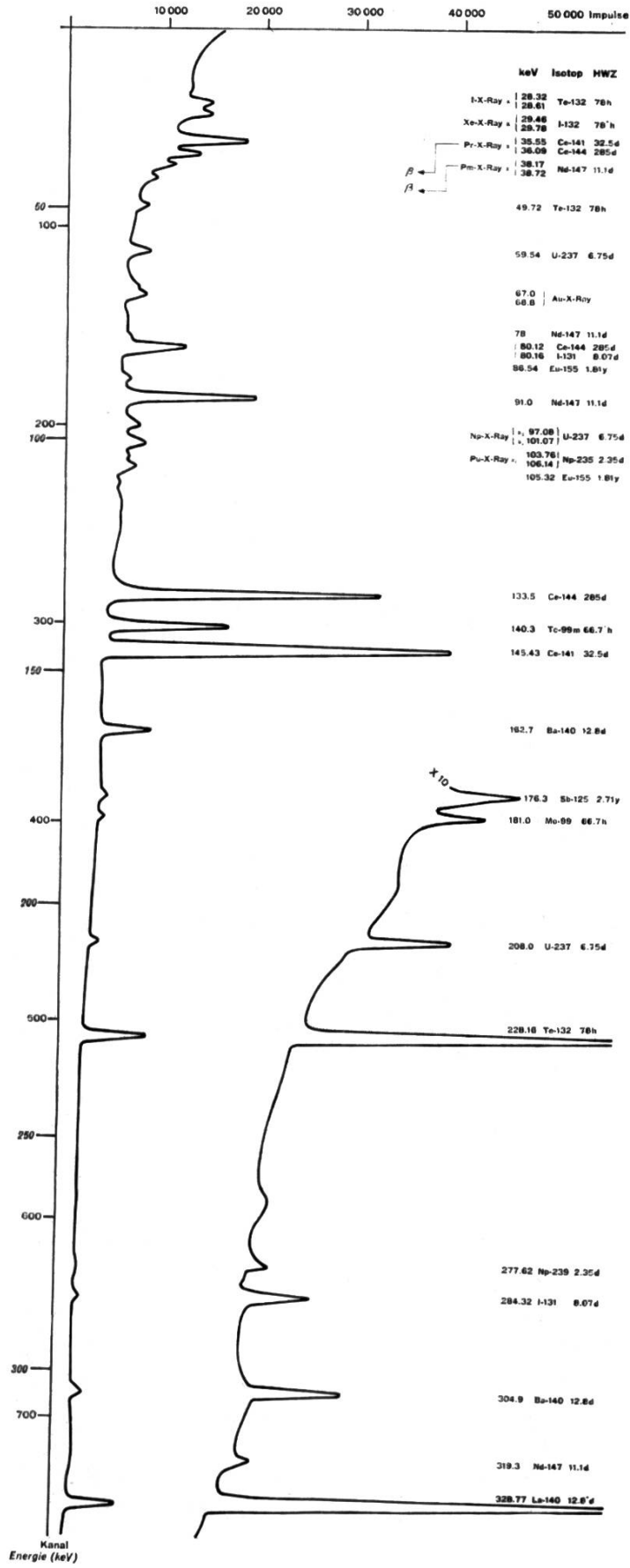


Fig. 6.

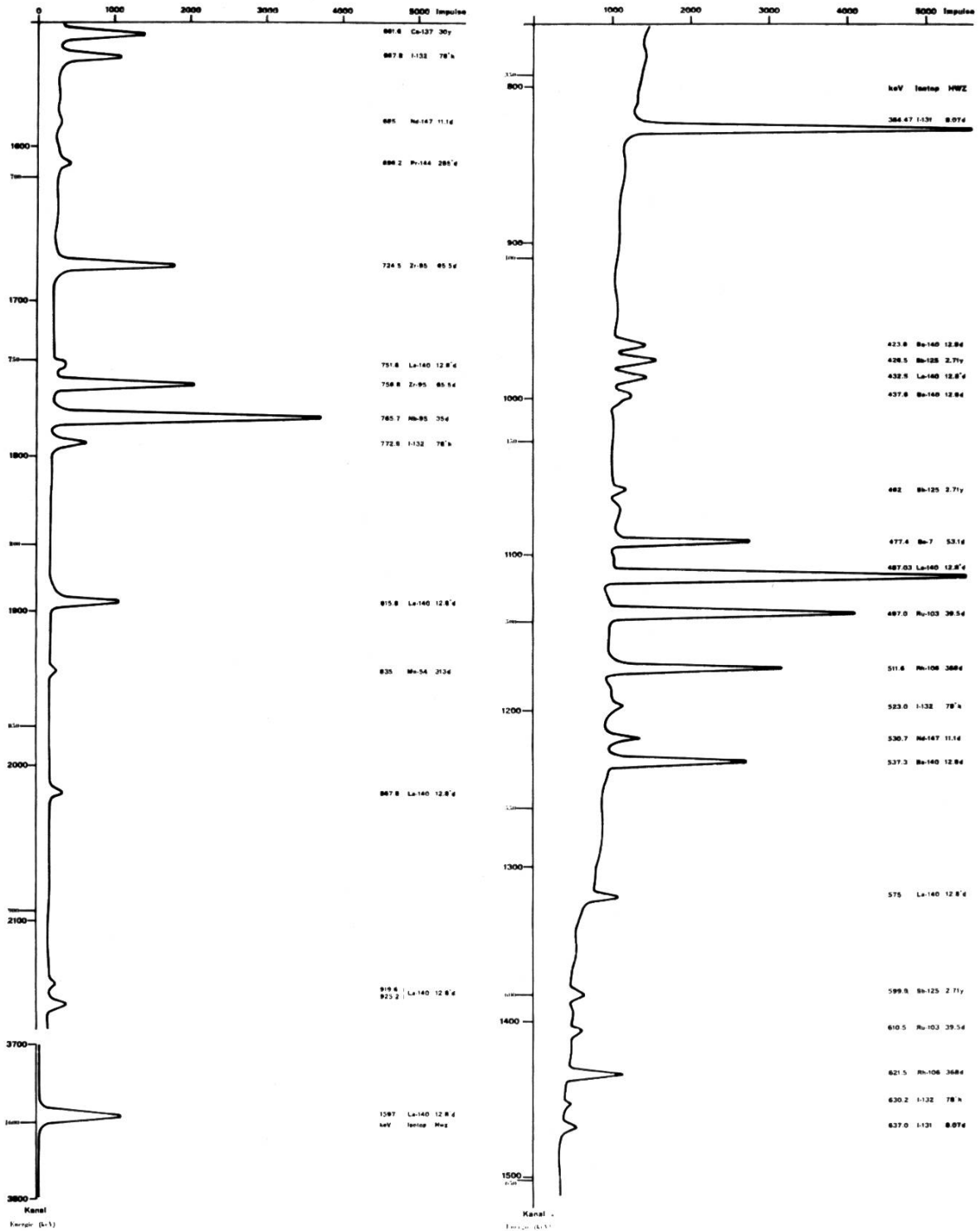
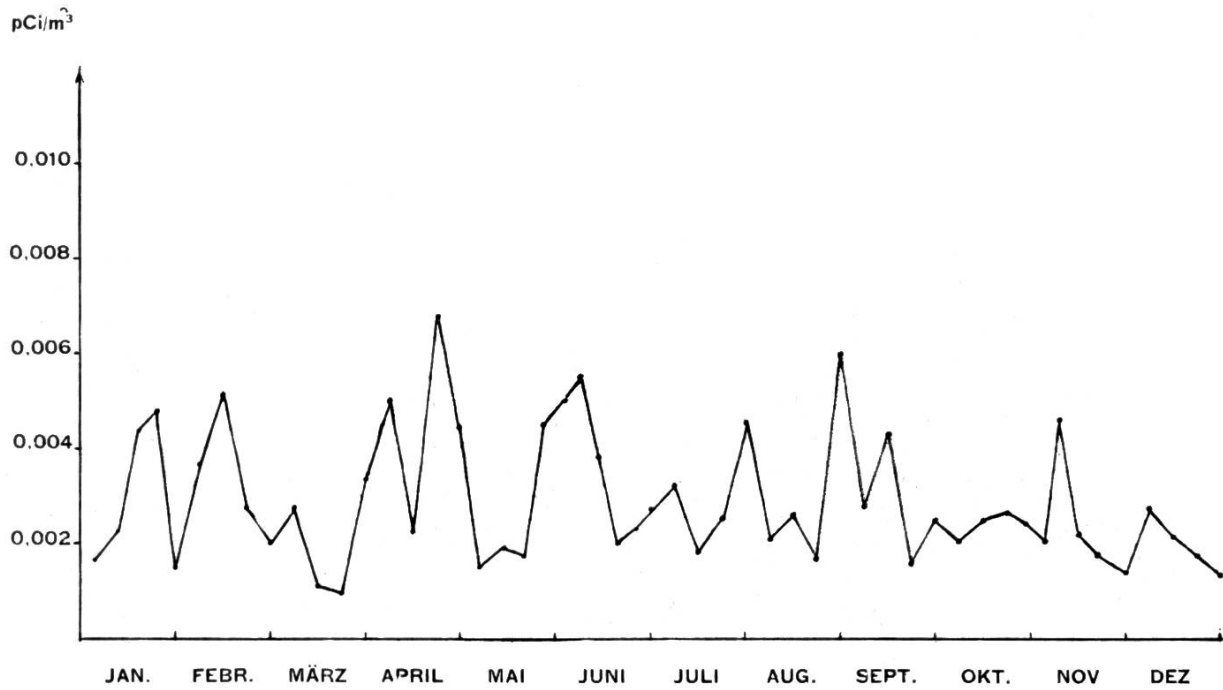


Fig. 6. Gammaspektrum einer Probe C der französischen Atombombenexplosionen vom 7.7. und 15.7.68, gemessen am 1.8.68 mit einer Ge(Li)-Planardiode (1,7 KeV Auflösung) und einem 4096-Kanal-Analysator

Fig. 6. Spectre gamma d'un échantillon C des bombes atomiques françaises du 7.7. et 15.7.68, mesuré le 1.8.68 avec une diode planaire Ge(Li) (résolution 1,7 KeV) et un analyseur à 4096 canaux





**Fig. 7. Alpha-Aktivität von Luftfiltern aus Stein AG für das Jahr 1968**

**Fig. 7. Activité alpha des filtres d'air de Stein AG pour l'année 1968**

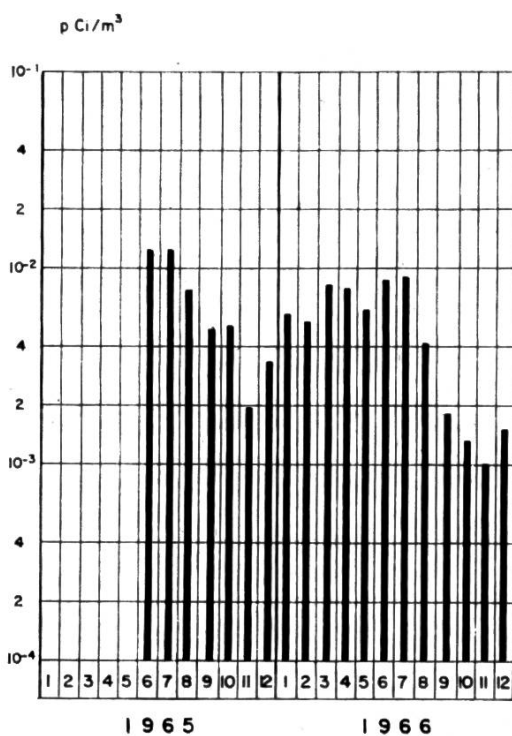
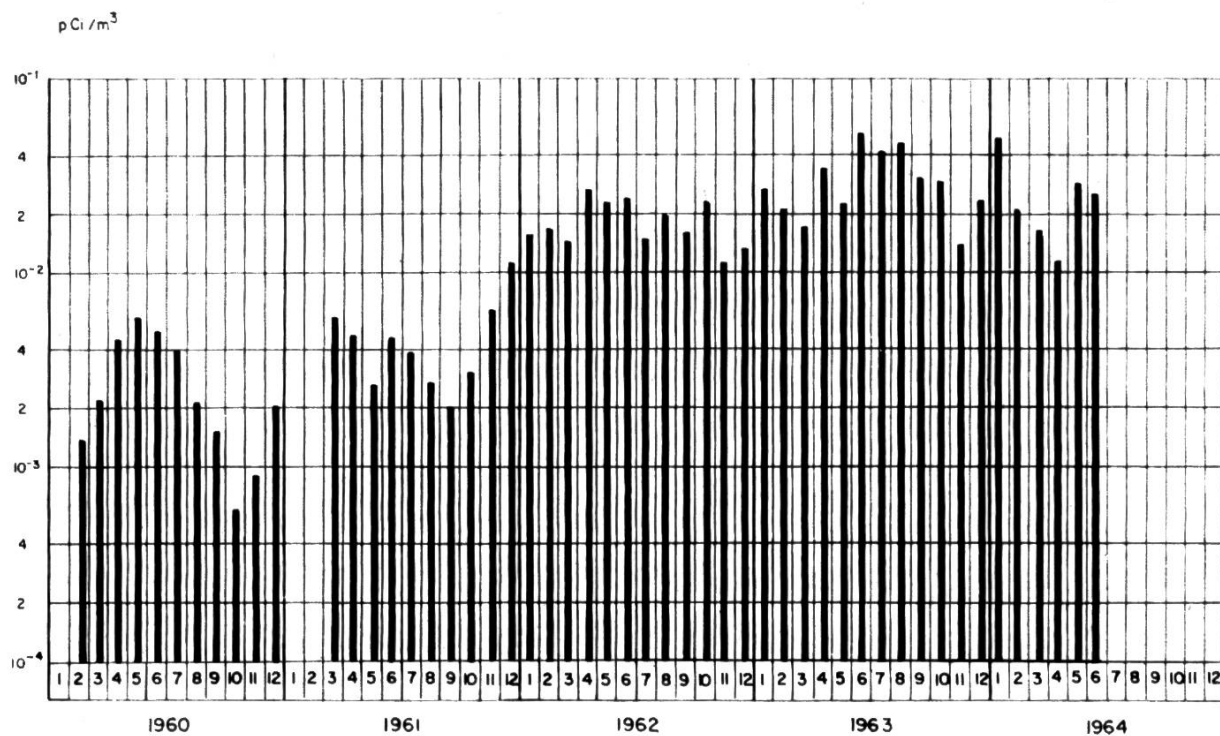


Fig. 8. Monatliche Mittelwerte der Strontium-90-Aktivität der Luft für die Messstelle Weissfluhjoch von 1960 bis 1966

Fig. 8. Moyennes mensuelles de l'activité du strontium-90 de l'air, mesurées à la station du Weissfluhjoch de 1960 à 1966

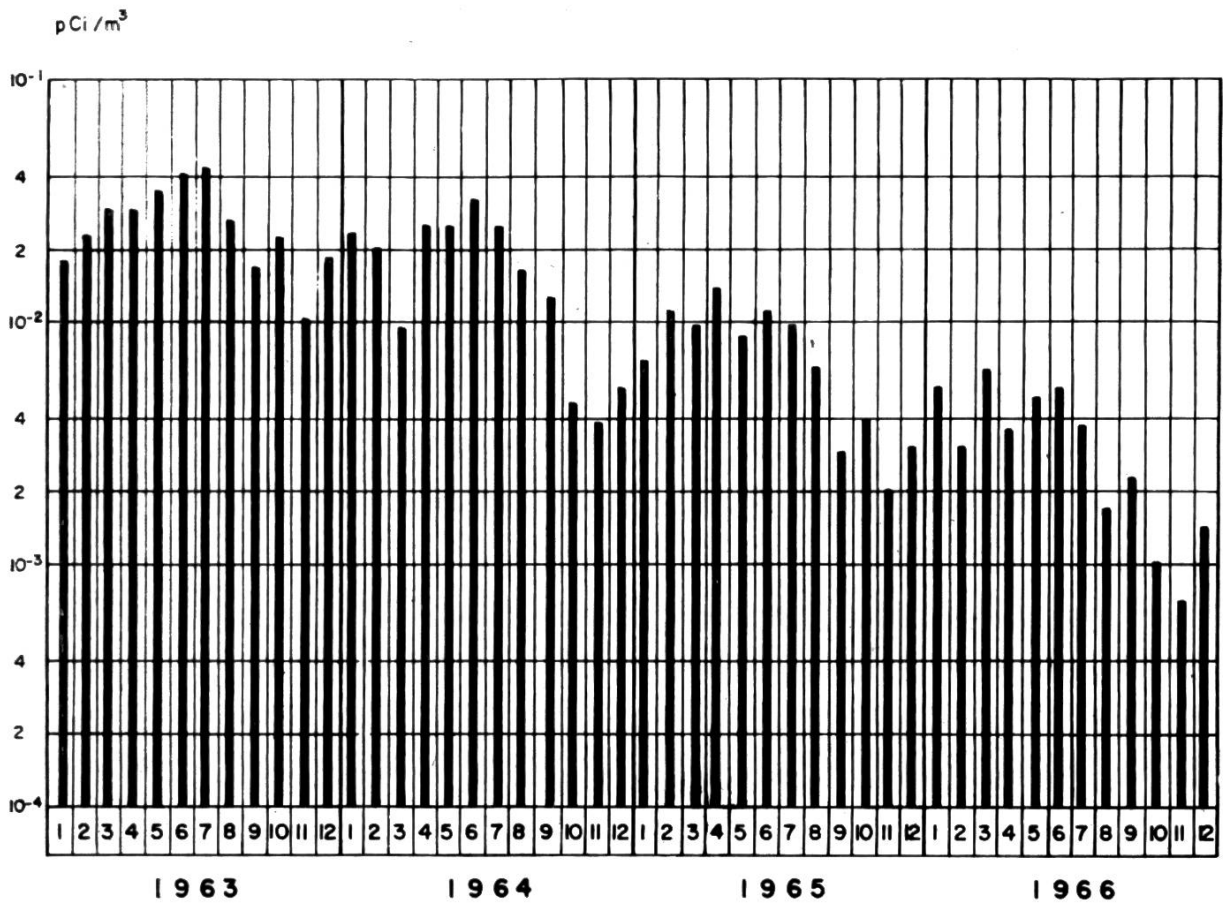
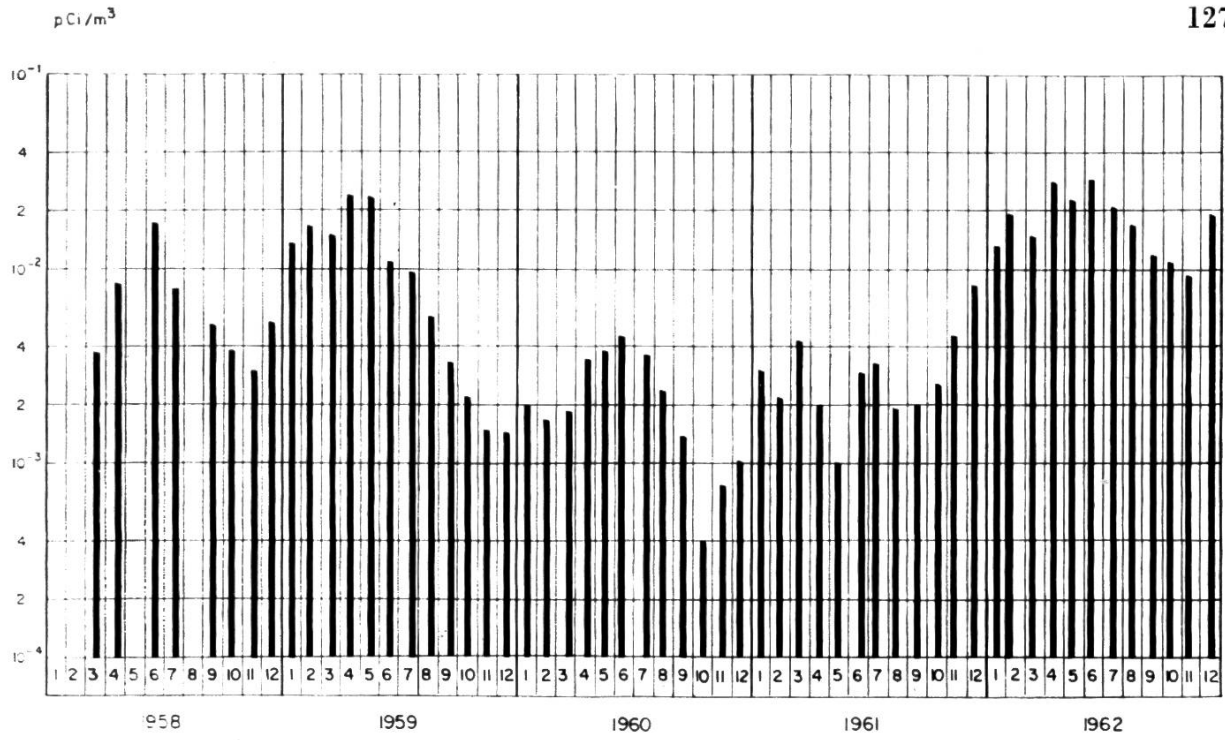


Fig. 9. Monatliche Mittelwerte der Strontium-90-Aktivität der Luft für die Messstelle Locarno von 1958 bis 1966

Fig. 9. Moyennes mensuelles de l'activité du strontium-90 de l'air, mesurées à la station de Locarno de 1958 à 1966

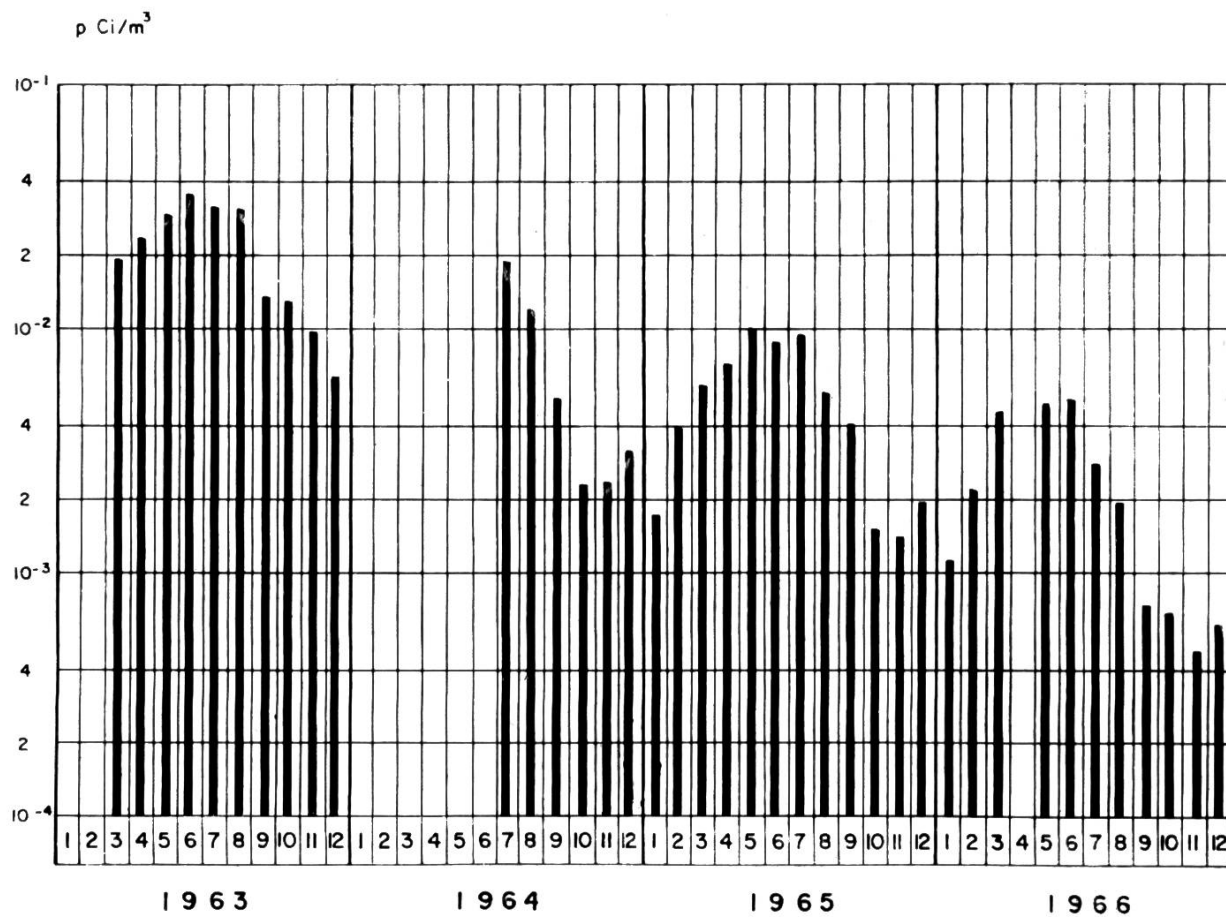


Fig. 10. Monatliche Mittelwerte der Strontium-90-Aktivität der Luft für die Messstelle Romanshorn von 1963 bis 1966

Fig. 10. Moyennes mensuelles de l'activité du strontium-90 de l'air, mesurées à la station de Romanshorn de 1963 à 1966

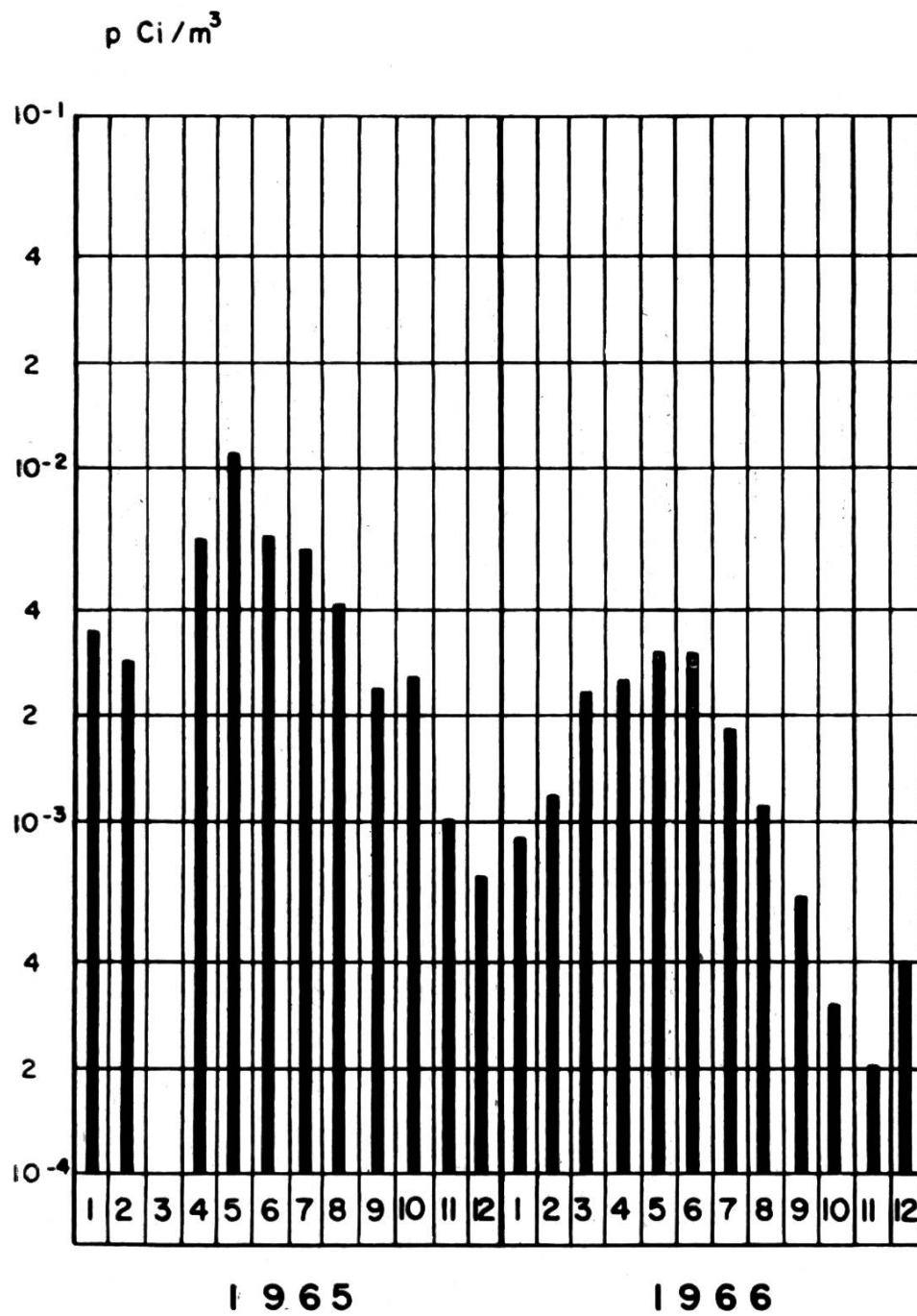


Fig. 11. Monatliche Mittelwerte der Strontium-90-Aktivität der Luft für die Messstelle Saignelégier von 1965 bis 1966

Fig. 11. Moyennes mensuelles de l'activité du strontium-90 de l'air, mesurées à la station de Saignelégier de 1965 à 1966

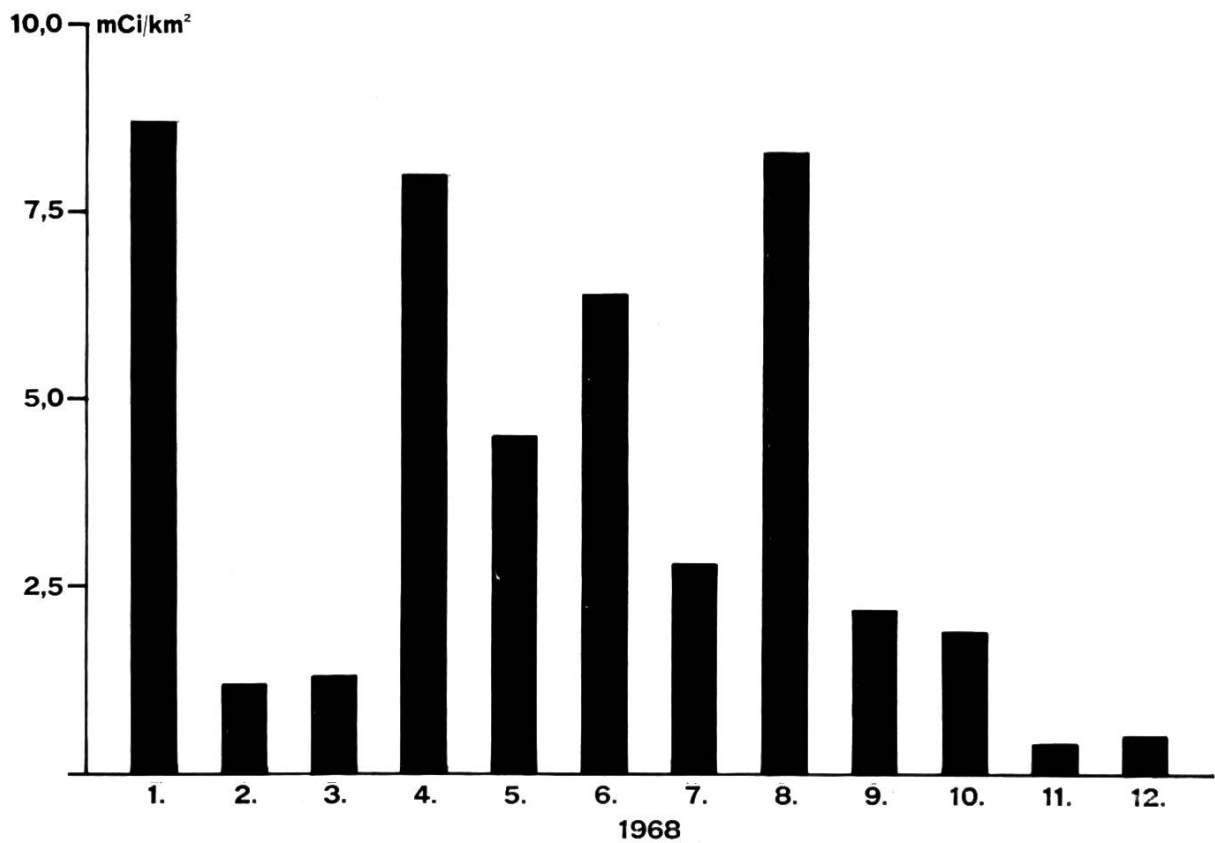
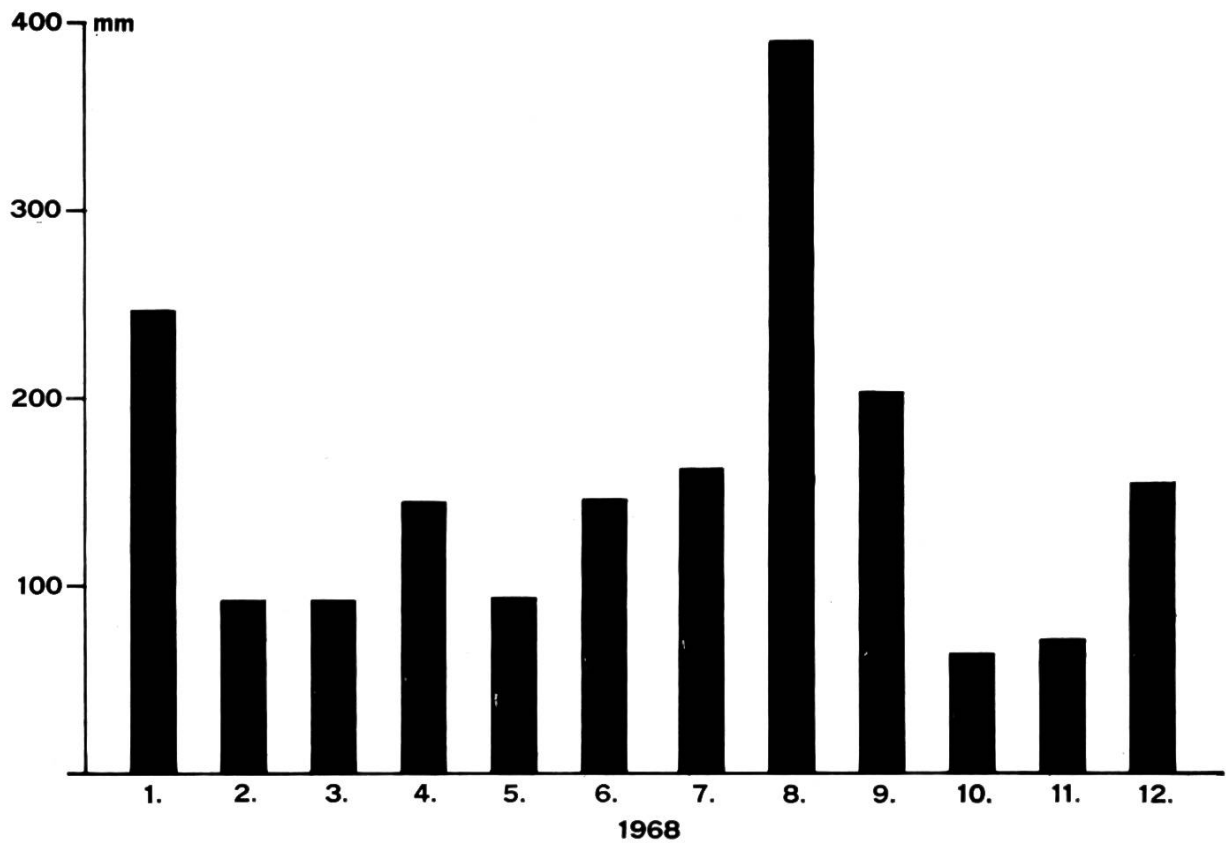


Fig. 12. Monatliche Niederschlagsmenge (oben) und monatliche, dem Erdboden durch Niederschlag zugeführte Gesamt-Beta-Aktivität pro km<sup>2</sup> Bodenfläche (unten) für die Messstelle Valsainte

Fig. 12. Quantité mensuelle des précipitations (en haut) et activité bêta totale accumulée mensuellement par km<sup>2</sup> au sol par les précipitations (en bas) pour la station de la Valsainte

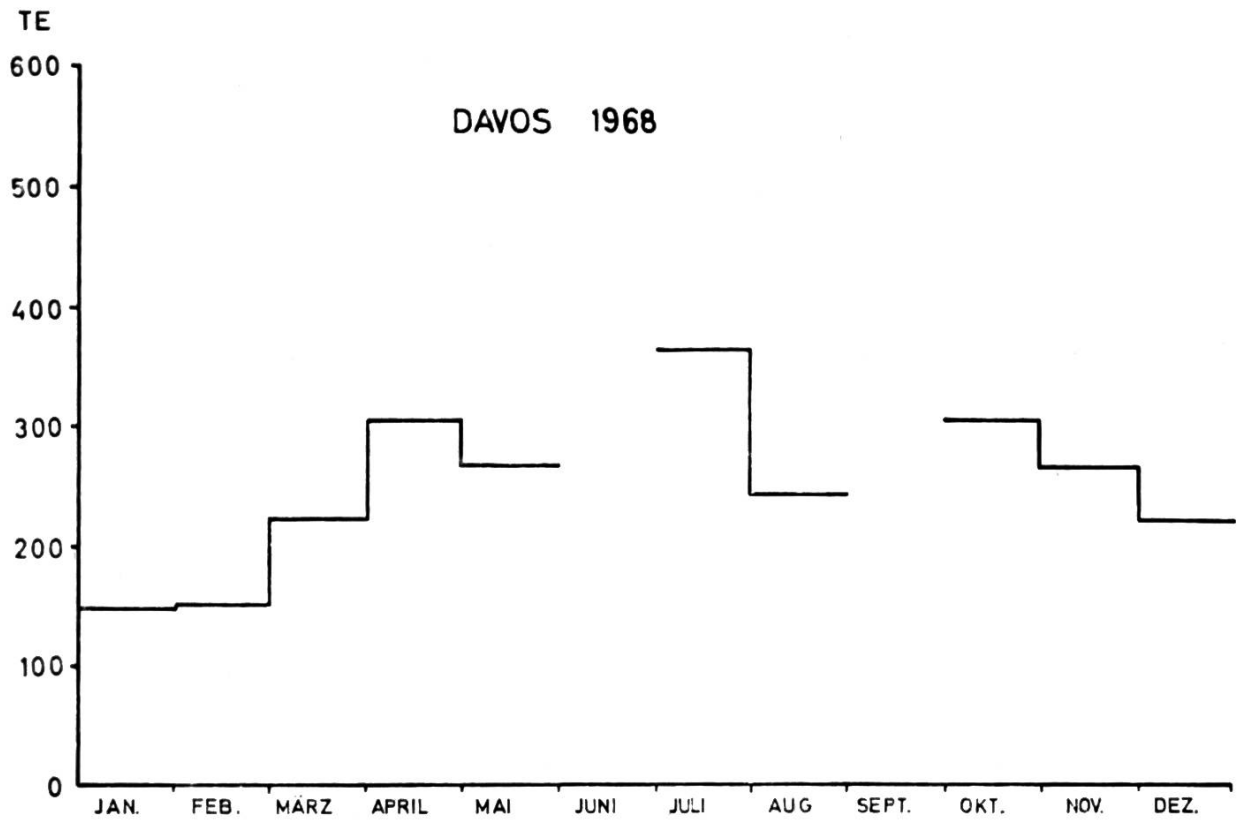
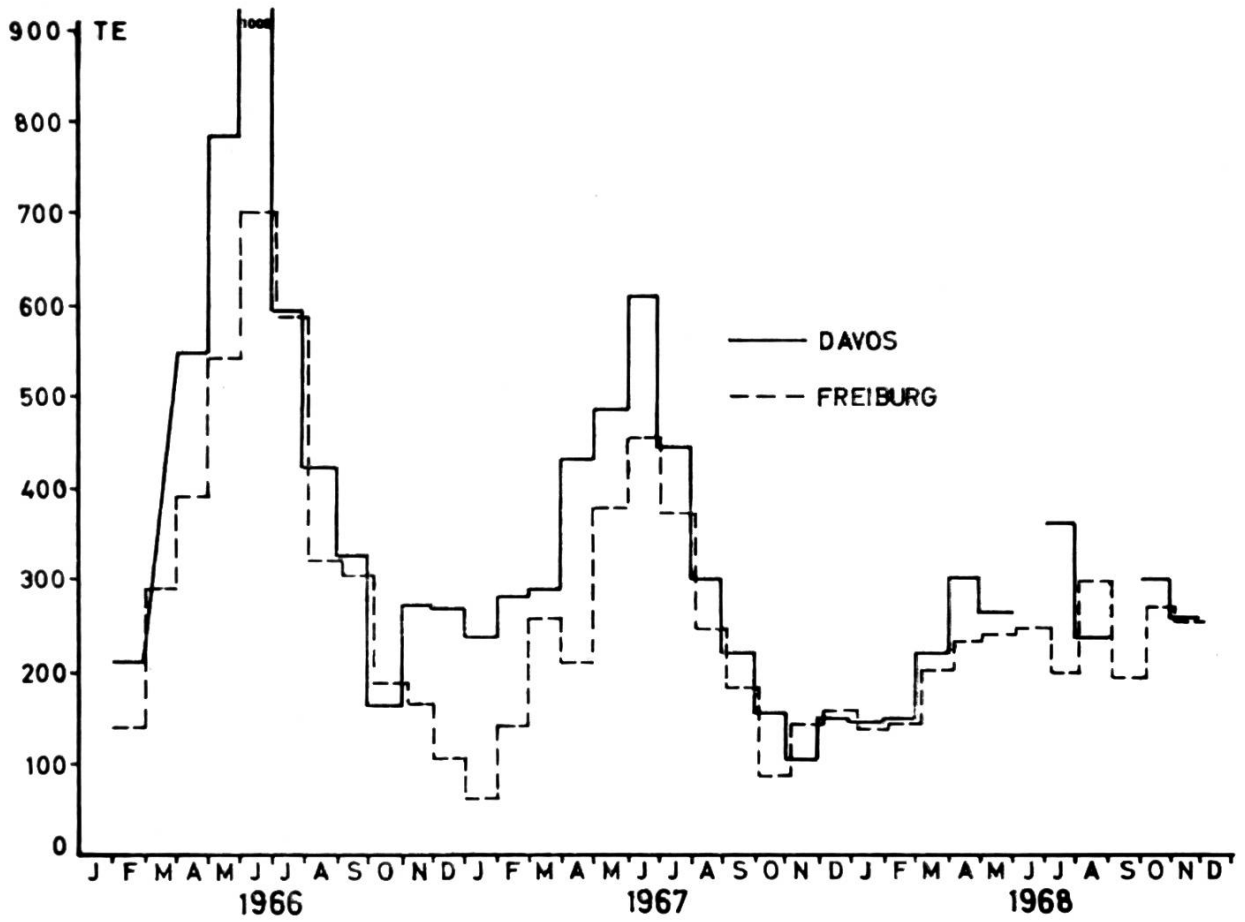
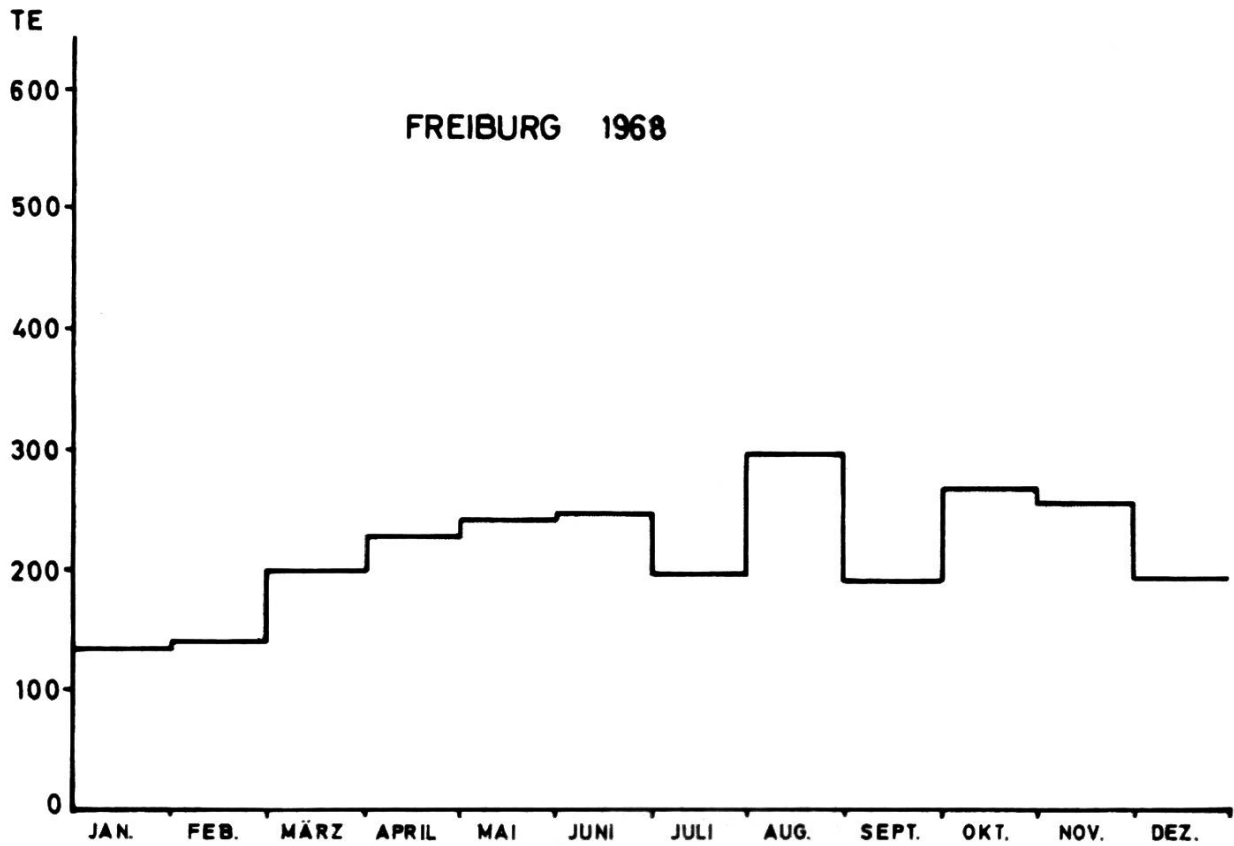


Fig. 13.



**Fig. 13.** Tritiumkonzentration von Regenproben aus Freiburg und Davos für die Jahre 1966 bis 1968. Einheit in TE = 1 Tritium-Einheit =  $10^{-18}$  Tritium-Atome pro Wasserstoffatom. Dies entspricht einer spezifischen Aktivität von 3,2 pCi/l Wasser

**Fig. 13.** Teneur en tritium d'échantillons d'eau de pluie de Fribourg et Davos pour les années de 1966 à 1968. Données en unités de tritium: 1 UT =  $10^{-18}$  atome de tritium par atome d'hydrogène, soit 3,2 pCi par litre d'eau



## BURGDORF PW 2 1967

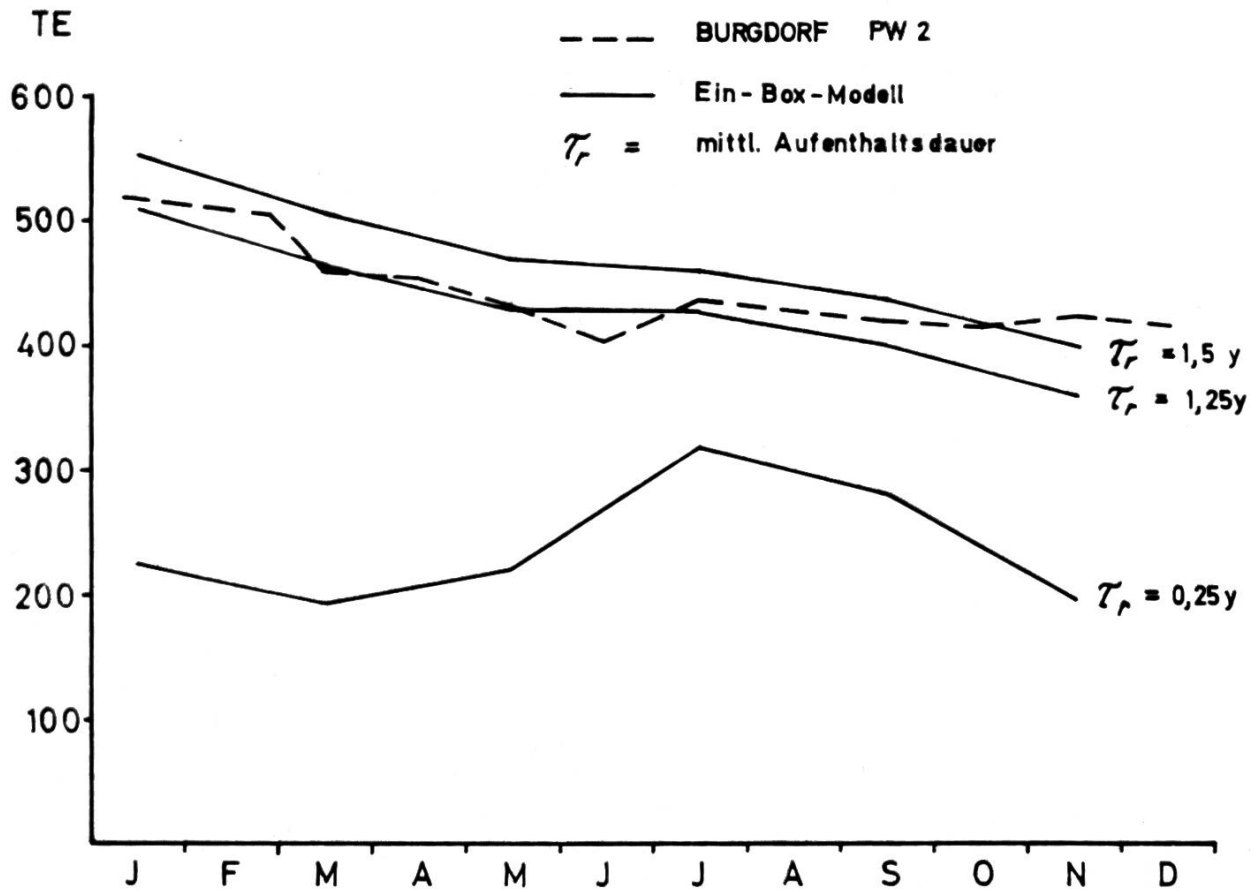
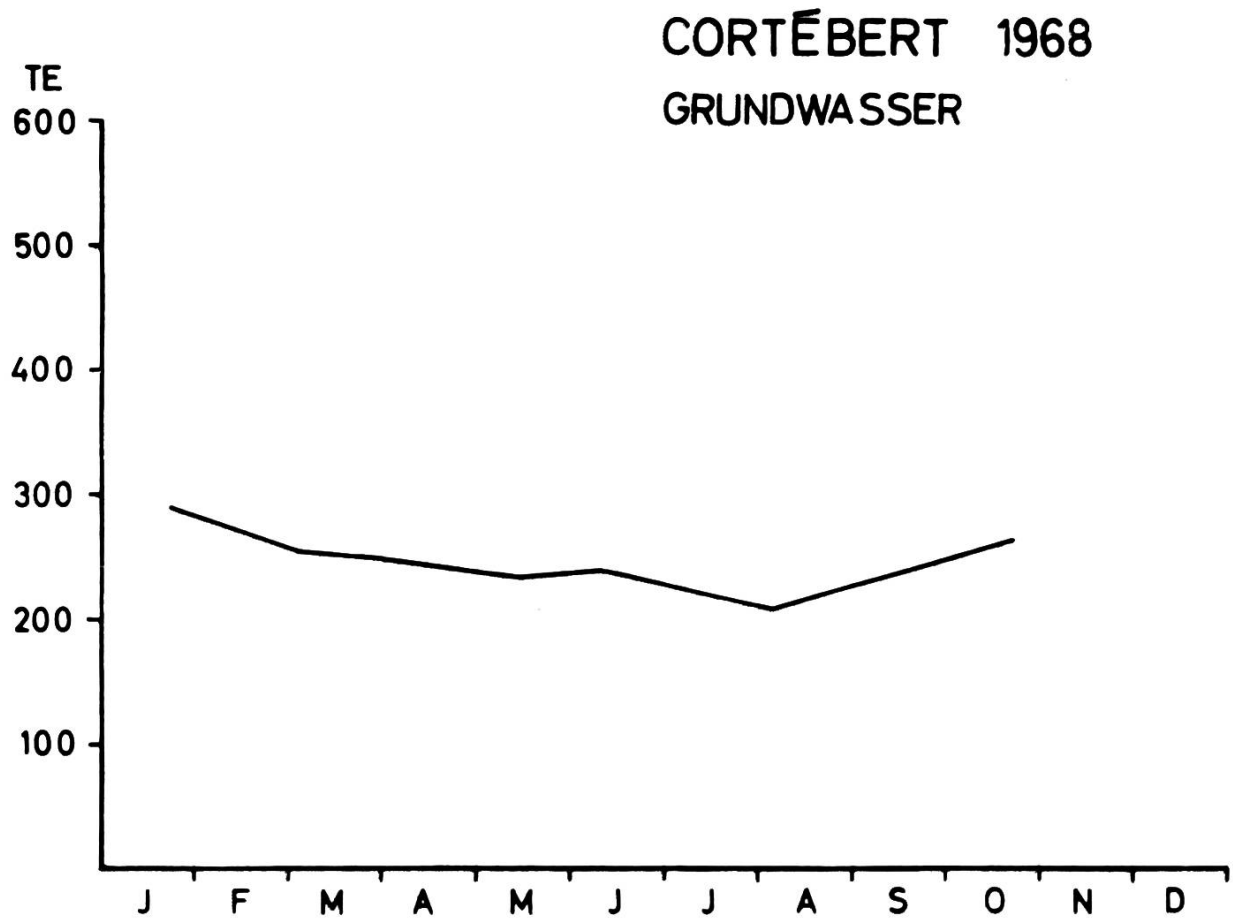


Fig. 14. Tritiumkonzentration vom Grundwasser des Pumpwerkes 2, Burgdorf, für das Jahr 1967

Fig. 14. Teneur en tritium d'eaux souterraines de la station de pompage n° 2, Berthoud, pour l'année 1967



**Fig. 15. Tritiumkonzentration vom Grundwasser von Cortébert für das Jahr 1968**

**Fig. 15. Teneur en tritium d'eaux souterraines de Cortébert, pour l'année 1968**

ST. SULPICE 1968  
GRUNDWASSER

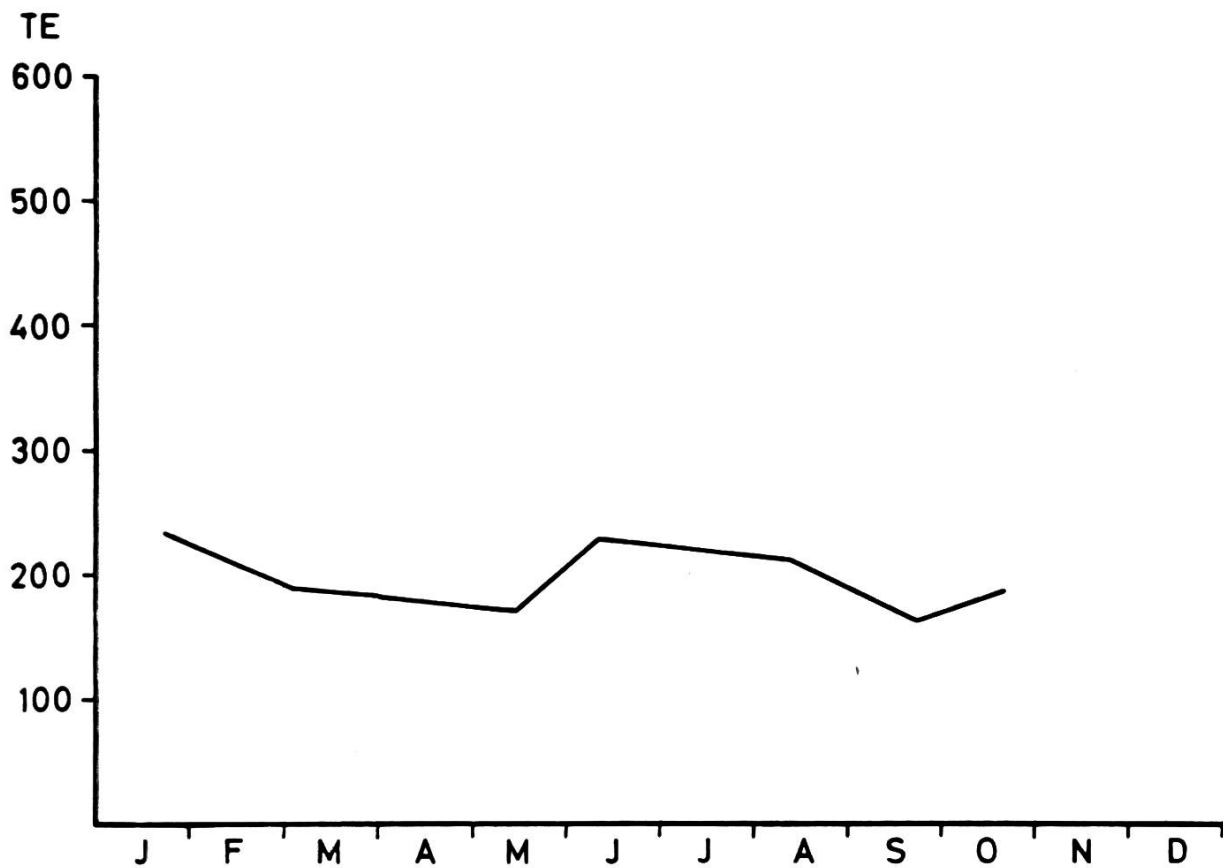


Fig. 16. Tritiumkonzentration vom Grundwasser von St. Sulpice für das Jahr 1968

Fig. 16. Teneur en tritium d'eaux souterraines de St-Sulpice, pour l'année 1968

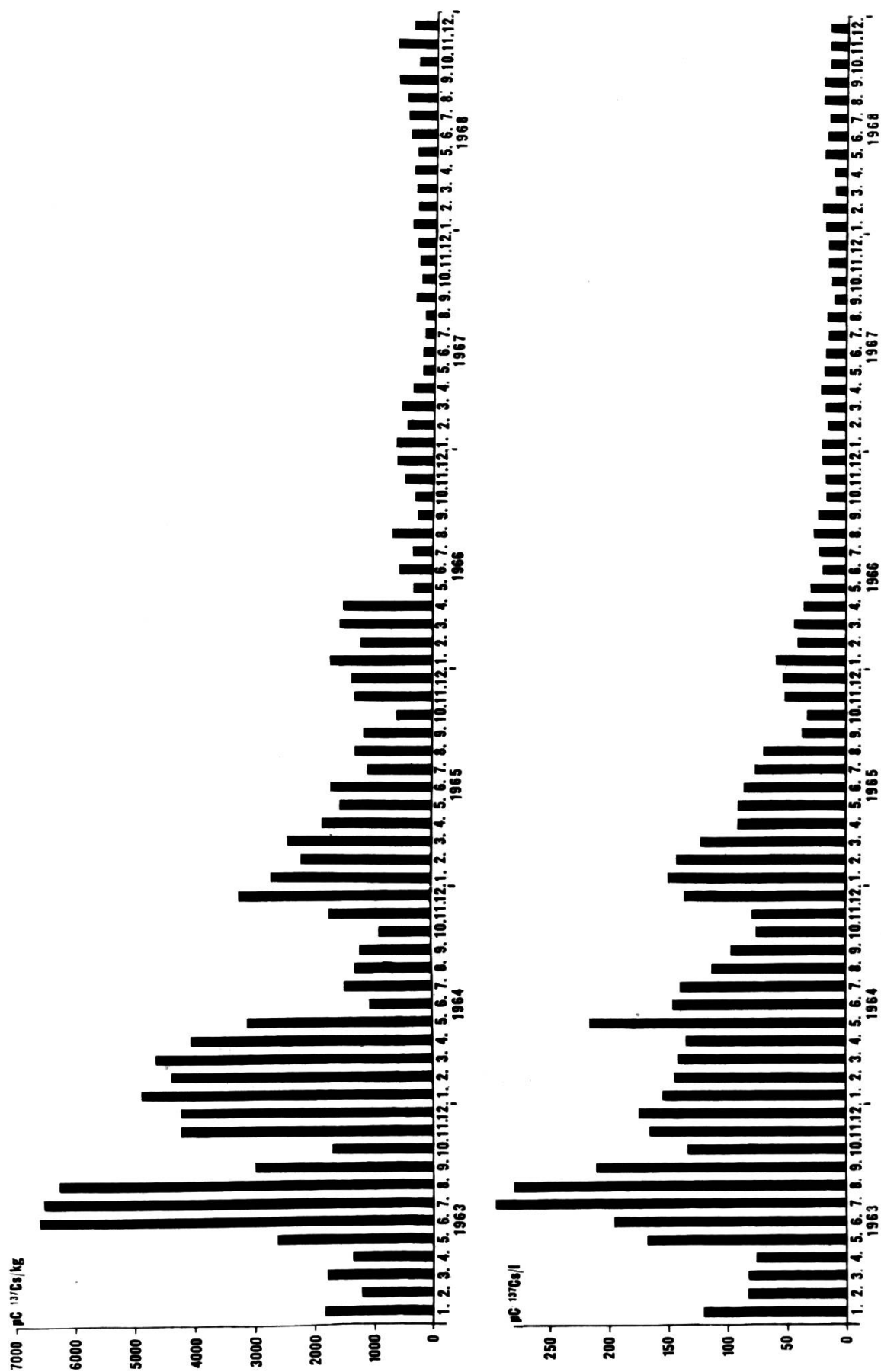


Fig. 17. Oben: Cs-137-Gehalt von Viehfutter (monatliche Probenahme), Ostschweiz 1963 bis 1968

Unten: Cs-137-Gehalt von Milch (monatliche Probenahme zwei Tage nach derjenigen des Futters), Ostschweiz 1963 bis 1968

Fig. 17. En haut: Teneur en Cs-137 du fourrage (prélèvement mensuel d'échantillons), Suisse orientale de 1963 à 1968

En bas: Teneur en Cs-137 du lait (prélèvement mensuel d'échantillons deux jours après celui du fourrage), Suisse orientale de 1963 à 1968

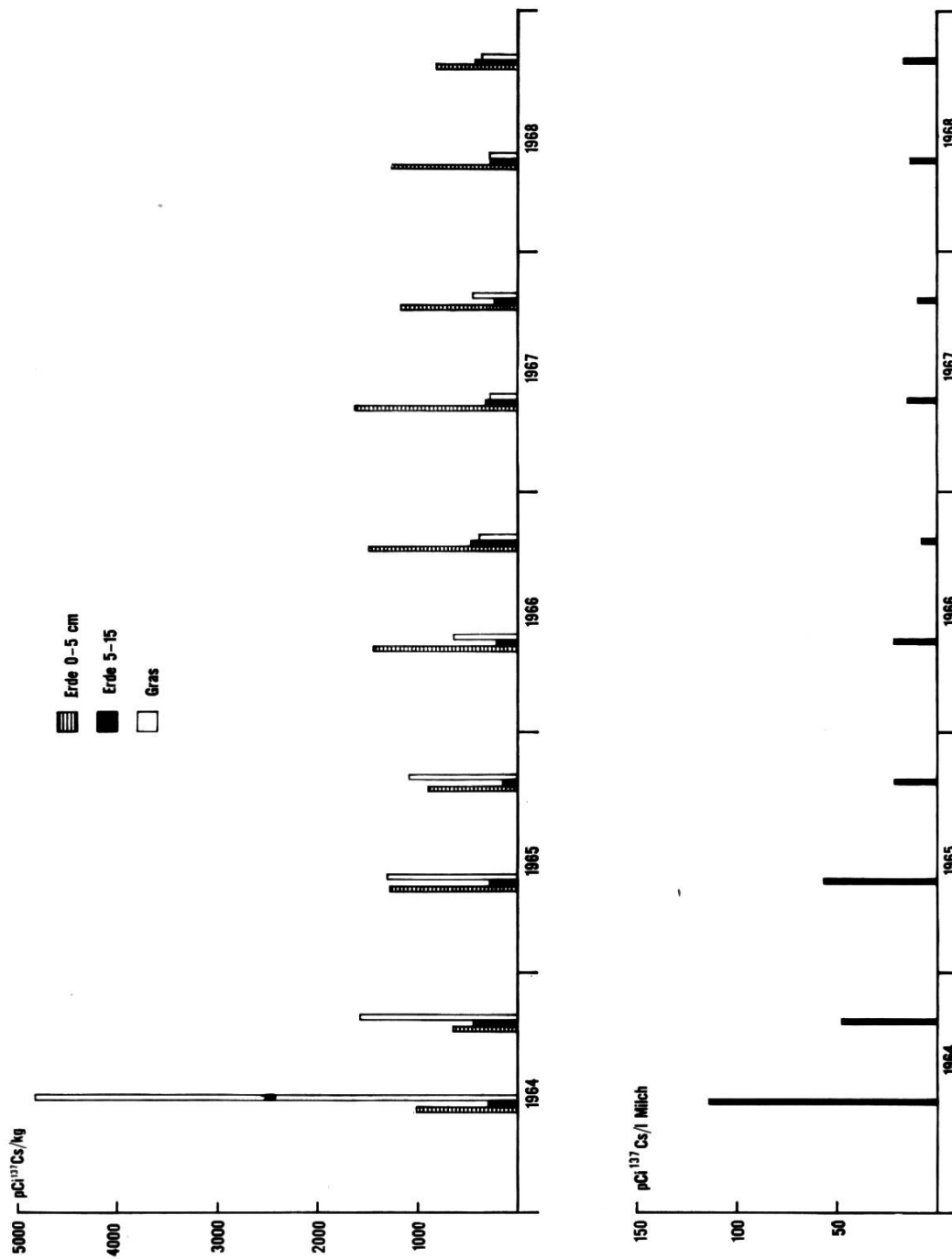


Fig. 18. Cs-137-Aktivität von Erdboden, Gras und Milch, Arenenberg TG, 1964 bis 1968

Fig. 18. Activité en Cs-137 du sol, de l'herbe et du lait à Arenenberg TG, de 1964 à 1968

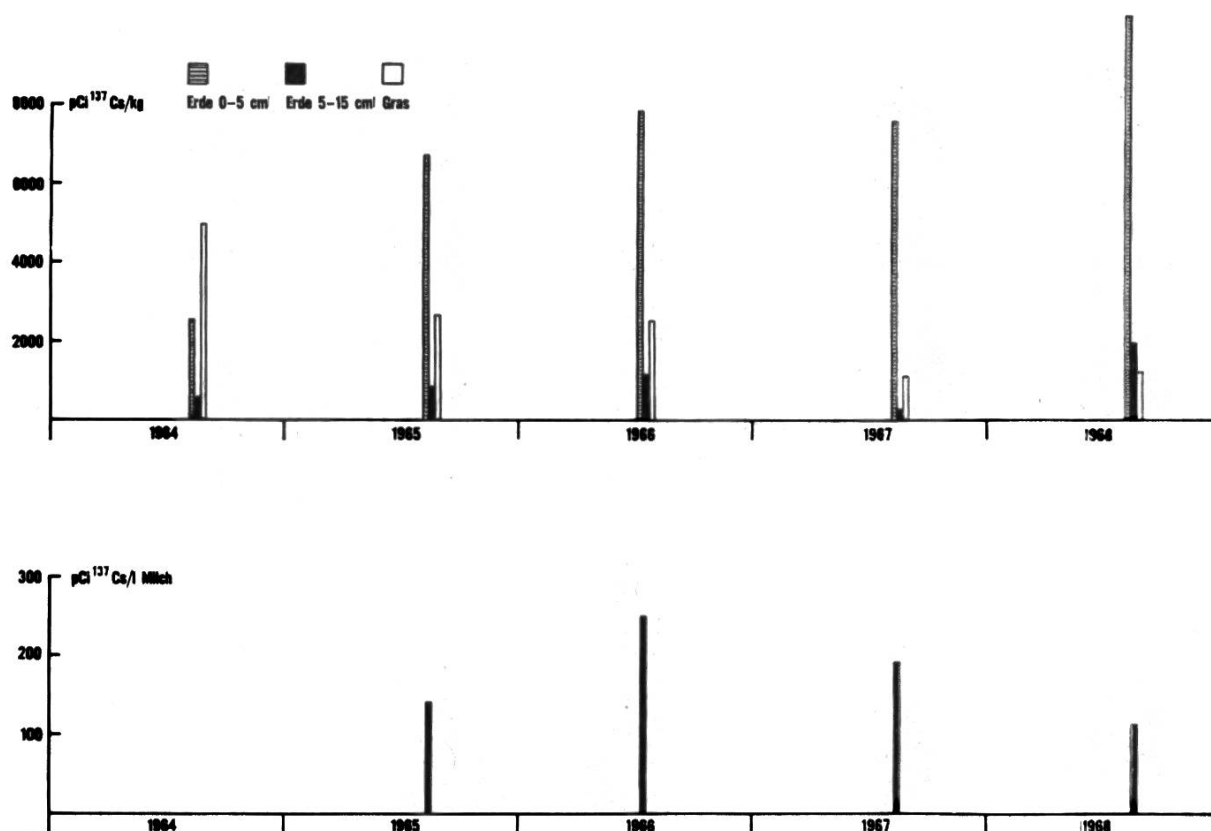


Fig. 19. Cs-137-Aktivität von Erdboden, Gras und Milch, Davos-Stillberg GR, 1964 bis 1968

Fig. 19. Activité en Cs-137 du sol, de l'herbe et du lait à Davos-Stillberg GR, de 1964 à 1968

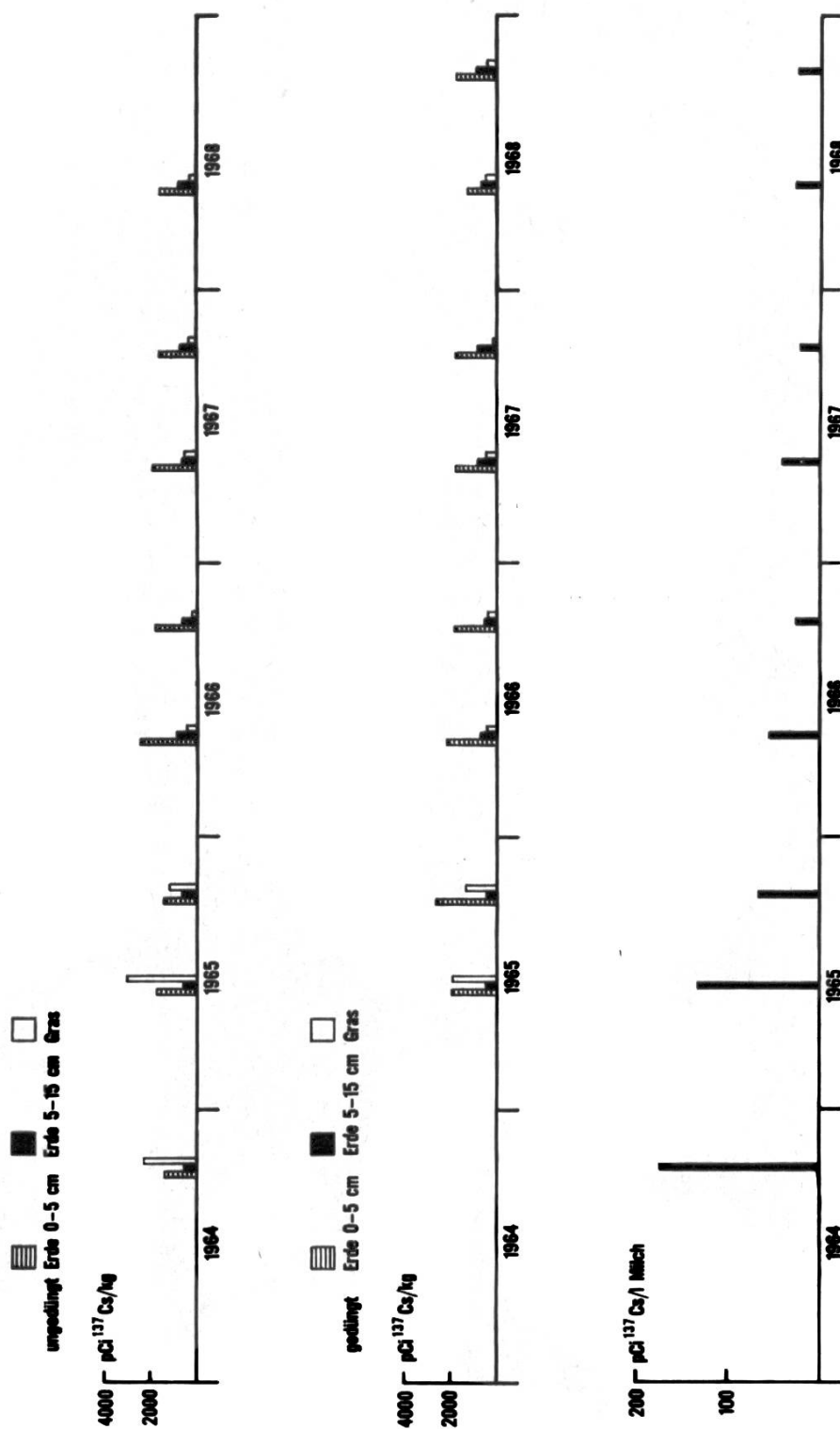


Fig. 20. Cs-137-Aktivität von Erdboden, Gras und Milch, Gudo TI, 1964 bis 1968  
 Fig. 20. Activité en Cs-137 du sol, de l'herbe et du lait à Gudo TI, de 1964 à 1968

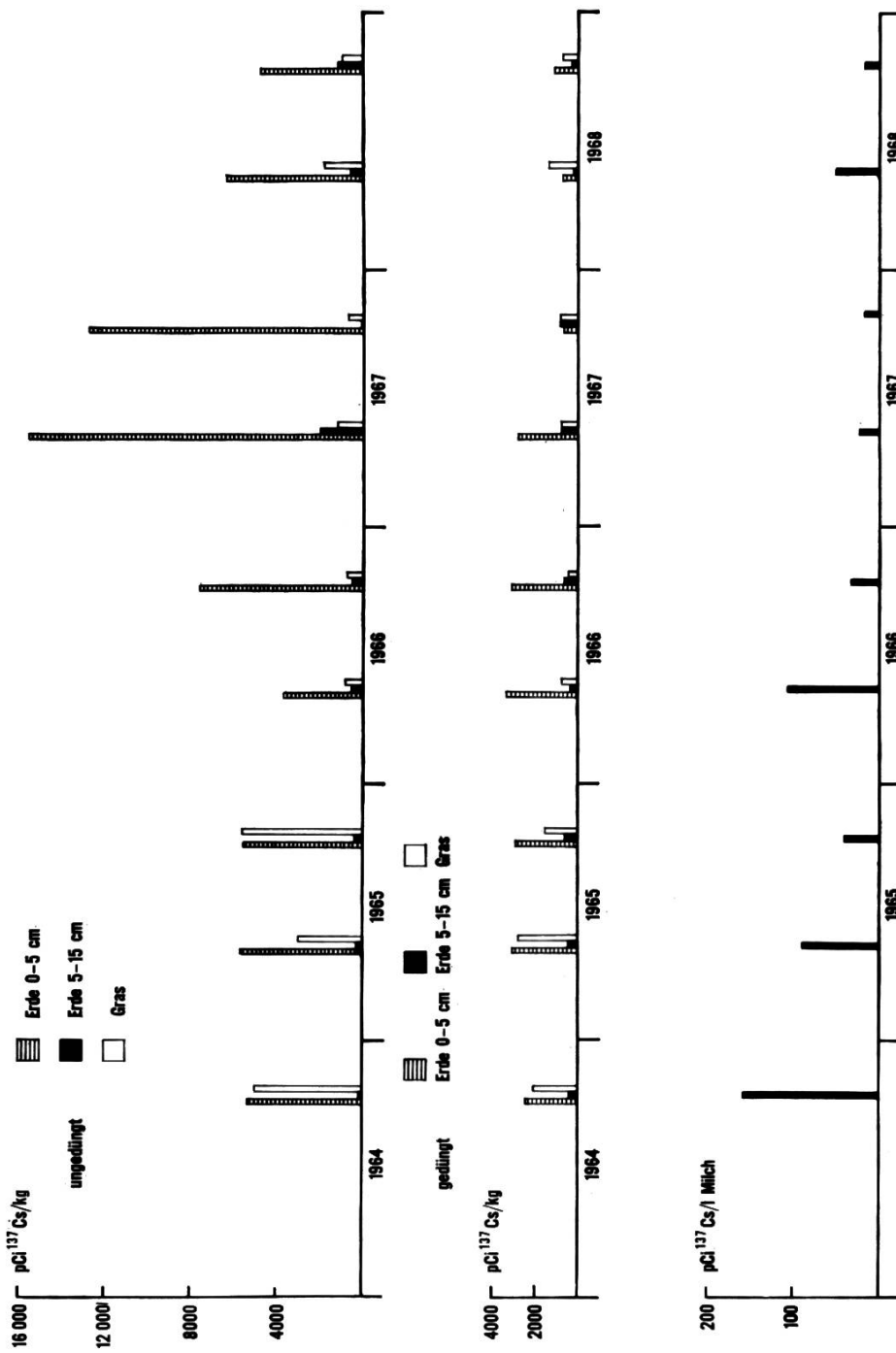


Fig. 21. Cs-137-Aktivität von Erdboden, Gras und Milch, Les Hauts-Geneveys NE, 1964 bis 1968

Fig. 21. Activité en Cs-137 du sol, de l'herbe et du lait aux Hauts-Geneveys NE, de 1964 à 1968



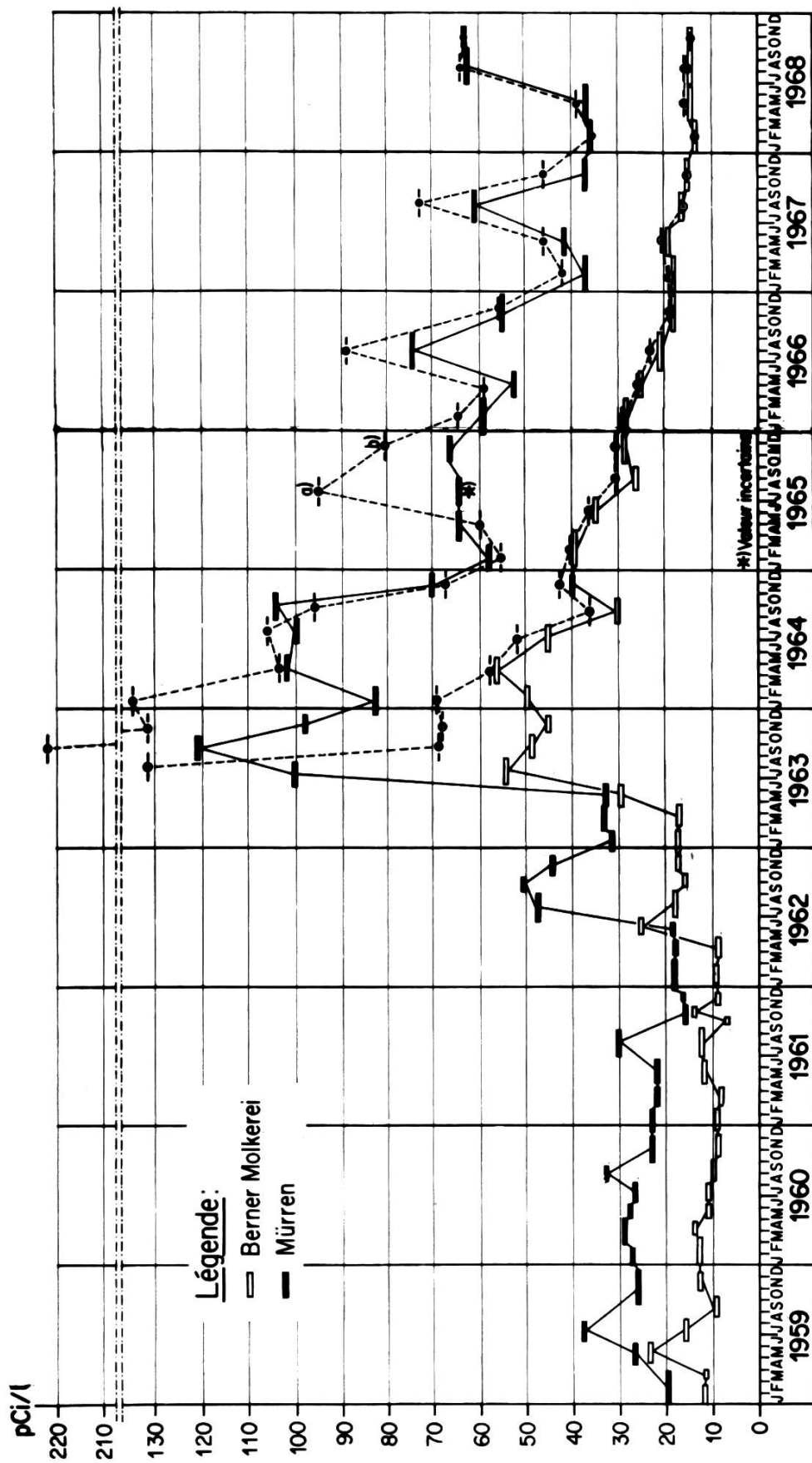


Fig. 22. Spécifique Strontium-90-Aktivität von Frischmilch aus dem Flachland (Bern, 540 m) und aus einer Höhenlage (Mürren, 1650 m) für die Jahre 1959 bis 1968. Einheit: 1 Picocurie pro Liter Milch (1 pCi/l)  
 ○ ● : Strontium-90-Aktivität berechnet aus der Oxalatniederschlags-Aktivität (Multiplikationsfaktor 0,71)

Fig. 22. Activité spécifique du strontium-90 dans le lait frais de plaine (Berne, 540 m) et de montagne (Mürren, 1650 m) pour les années de 1959 à 1968. Unité: 1 picocurie par litre de lait (1 pCi/l)  
 ○ ● : Activité du strontium-90, calculée à partir de l'activité des oxalates (facteur de conversion utilisé: 0,71)

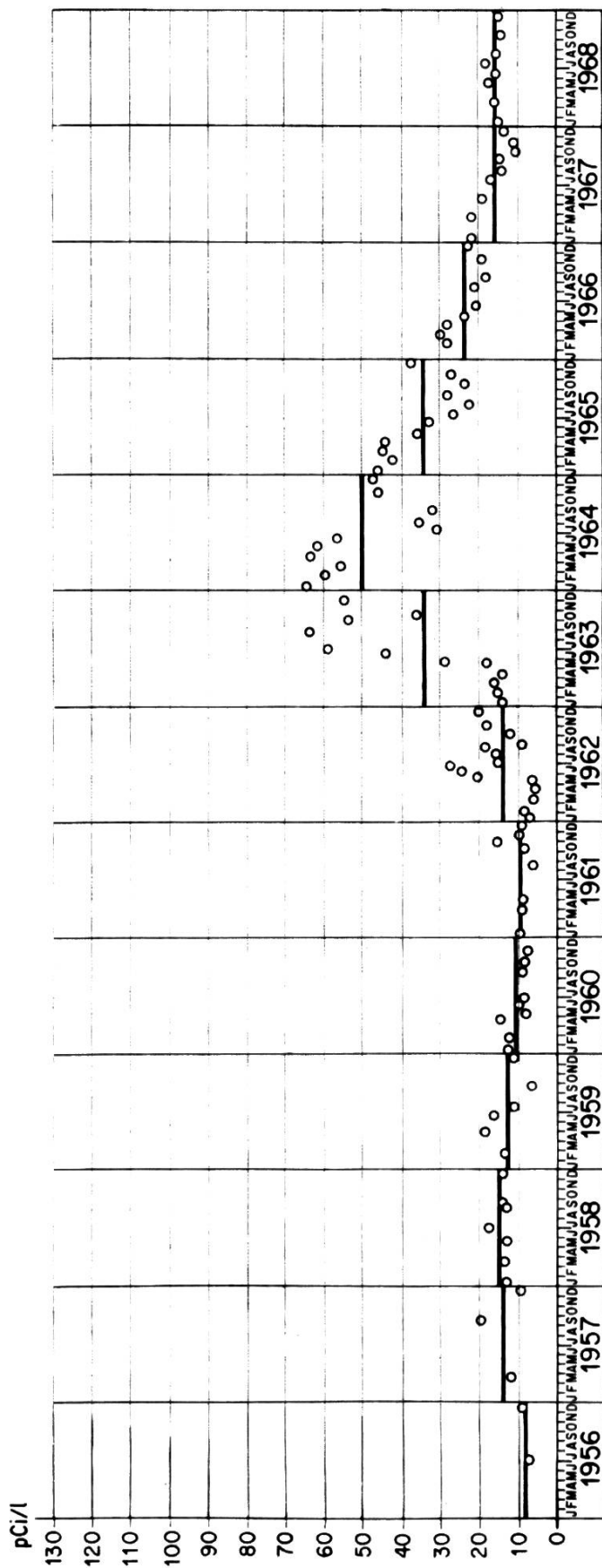


Fig. 23. Spezifische Strontium-90-Aktivität von Trockenmilch (Flachland) seit 1956. Einheit: 1 Picocurie pro Liter Milch (1 pCi/l)  
 Fig. 23. Activité spécifique du strontium-90 dans le lait en poudre (plaine) depuis 1956. Unité: 1 picocurie par litre de lait (1 pCi/l)

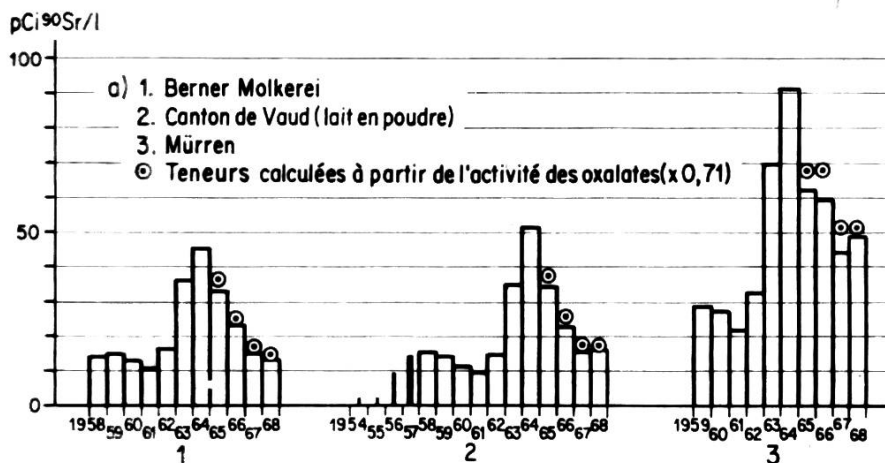


Fig. 24a. Spezifische Strontium-90-Aktivität der Milch von den drei Probestellen Berner Molkerei, Kanton Waadt und Mürren. ⊙ Strontium-90-Aktivität berechnet aus der Oxalatniederschlags-Aktivität (Multiplikationsfaktor 0,71)

Fig. 24a. Activité spécifique du strontium-90 du lait des trois provenances: Laiteries bernoises, canton de Vaud et Mürren. ⊙ Activité du strontium-90, calculée à partir de l'activité des oxalates (facteur de conversion utilisé: 0,71)

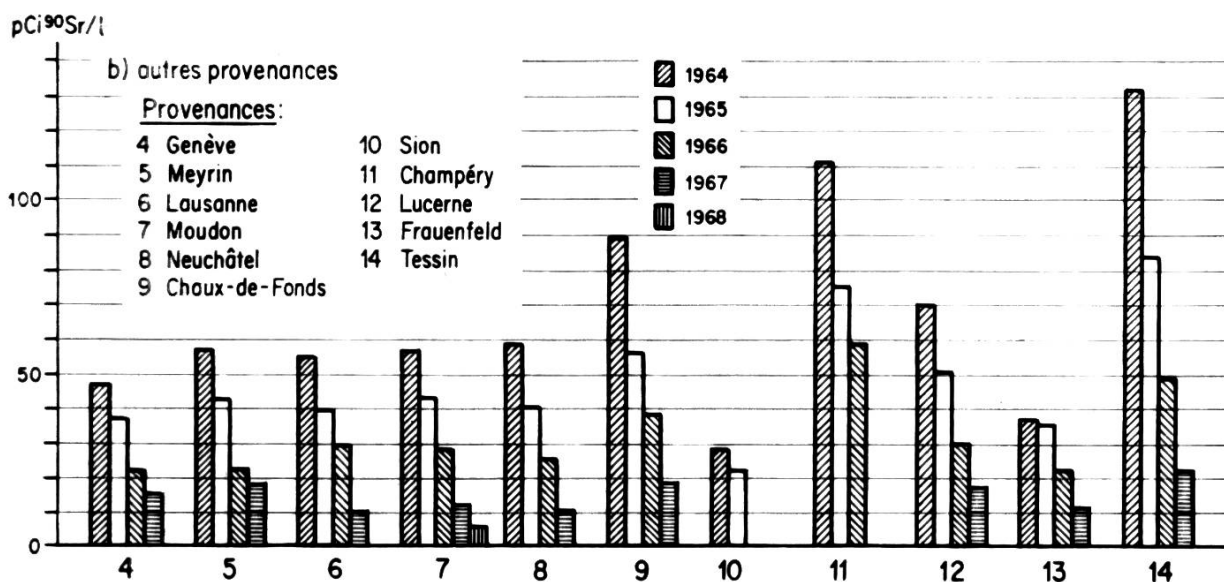


Fig. 24b. Spezifische Strontium-90-Aktivität der Milch von 11 weiteren Probestellen

Fig. 24b. Activité spécifique du strontium-90 du lait de onze autres provenances

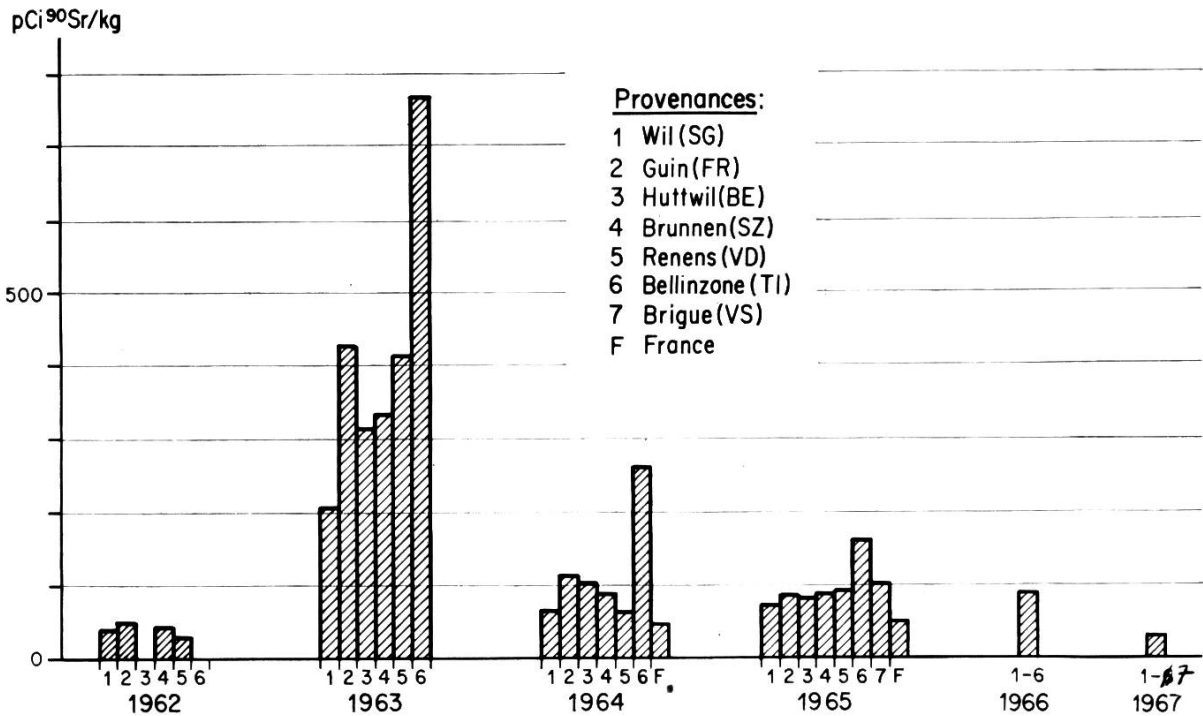


Fig. 25. Spezifische Strontium-90-Aktivität von Weizen, Ernte 1962 bis 1967 von 7 Herkunftsstellen

Fig. 25. Activité spécifique du strontium-90 du froment de 7 provenances pour les récoltes de 1962 à 1967

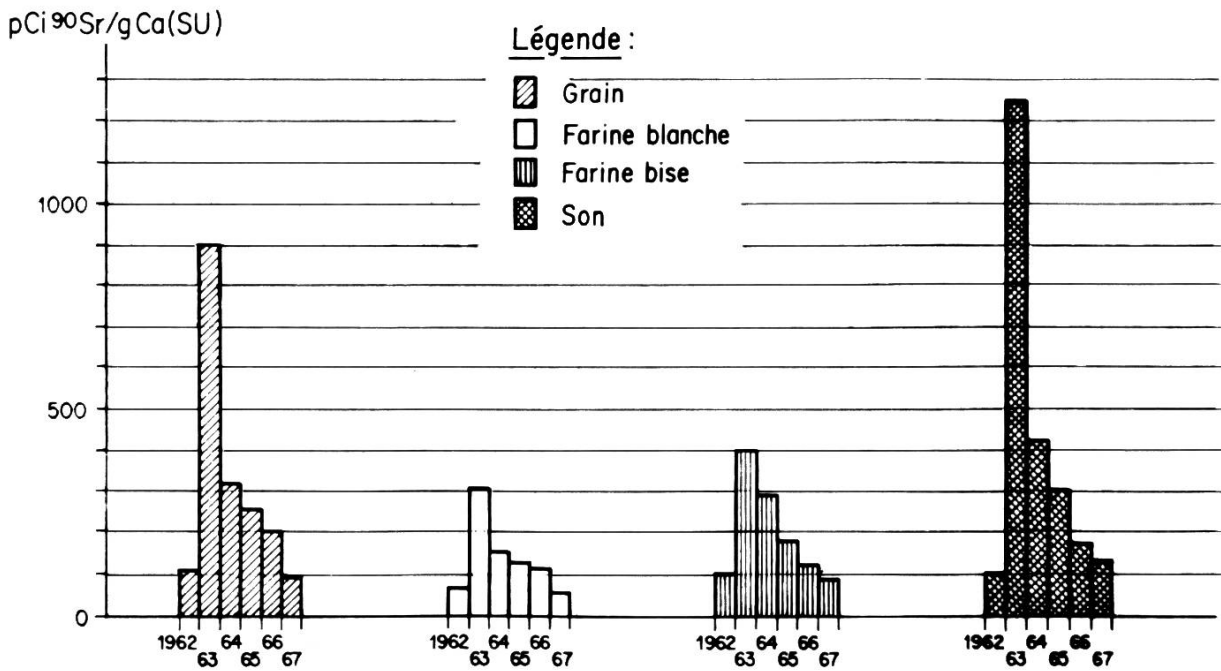


Fig. 26. Strontium-90-Aktivität pro g/Kalzium (Strontium-Einheit: SE) von Weizen und Weizen-Mahlprodukten, gemittelt über die Herkunftsstellen (siehe Fig. 25) für die Jahre 1962 bis 1967

Fig. 26. Activité du strontium-90 du froment et ses produits de mouture en g/potassium (unité de strontium: US); moyennes des provenances mentionnées en figure 25, pour les années de 1962 à 1967

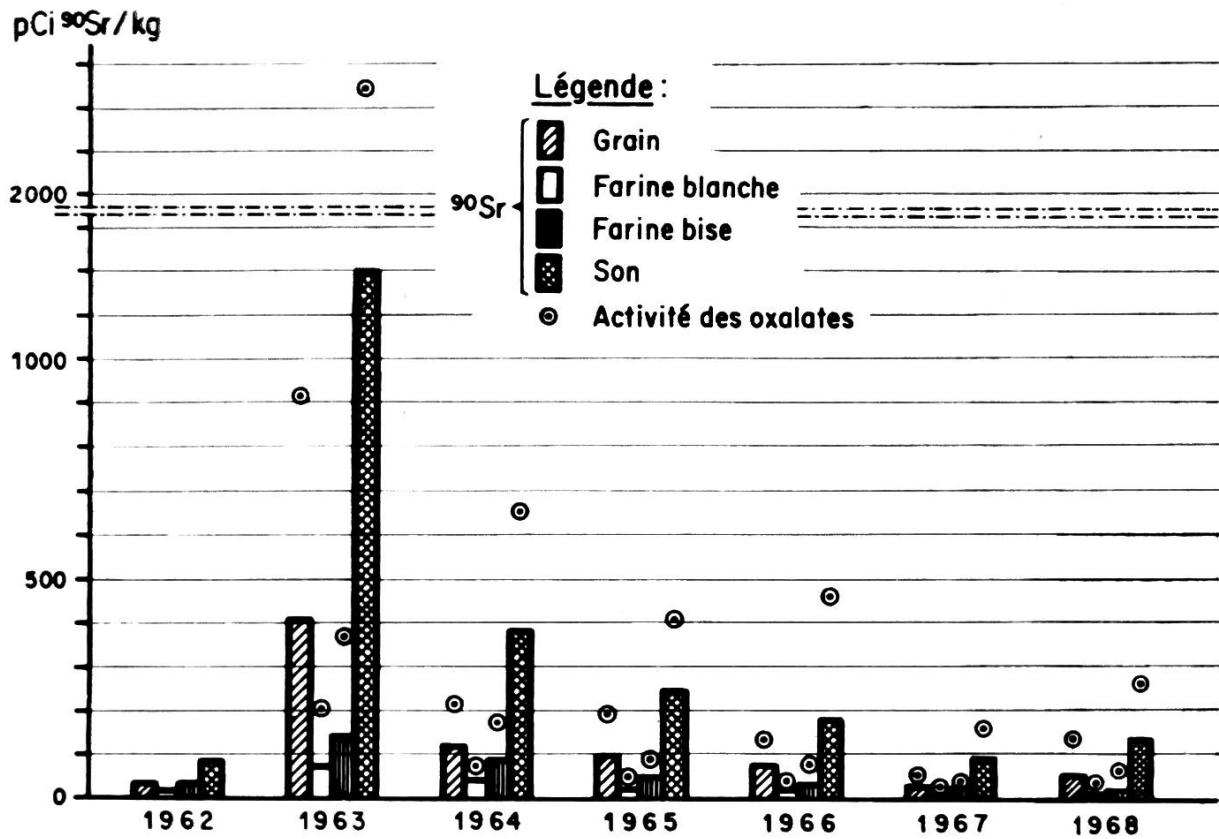


Fig. 27. Spezifische Strontium-90-Aktivität und spezifische Oxalat-Aktivität von Weizen und Weizen-Mahlprodukten, gemittelt über die Herkunftsstellen (siehe Fig. 25) für die Jahre 1962 bis 1968

Fig. 27. Activité spécifique du strontium-90 et activité spécifique des oxalates du froment et ses produits de mouture; moyennes des provenances mentionnées en figure 25, pour les années de 1962 à 1968

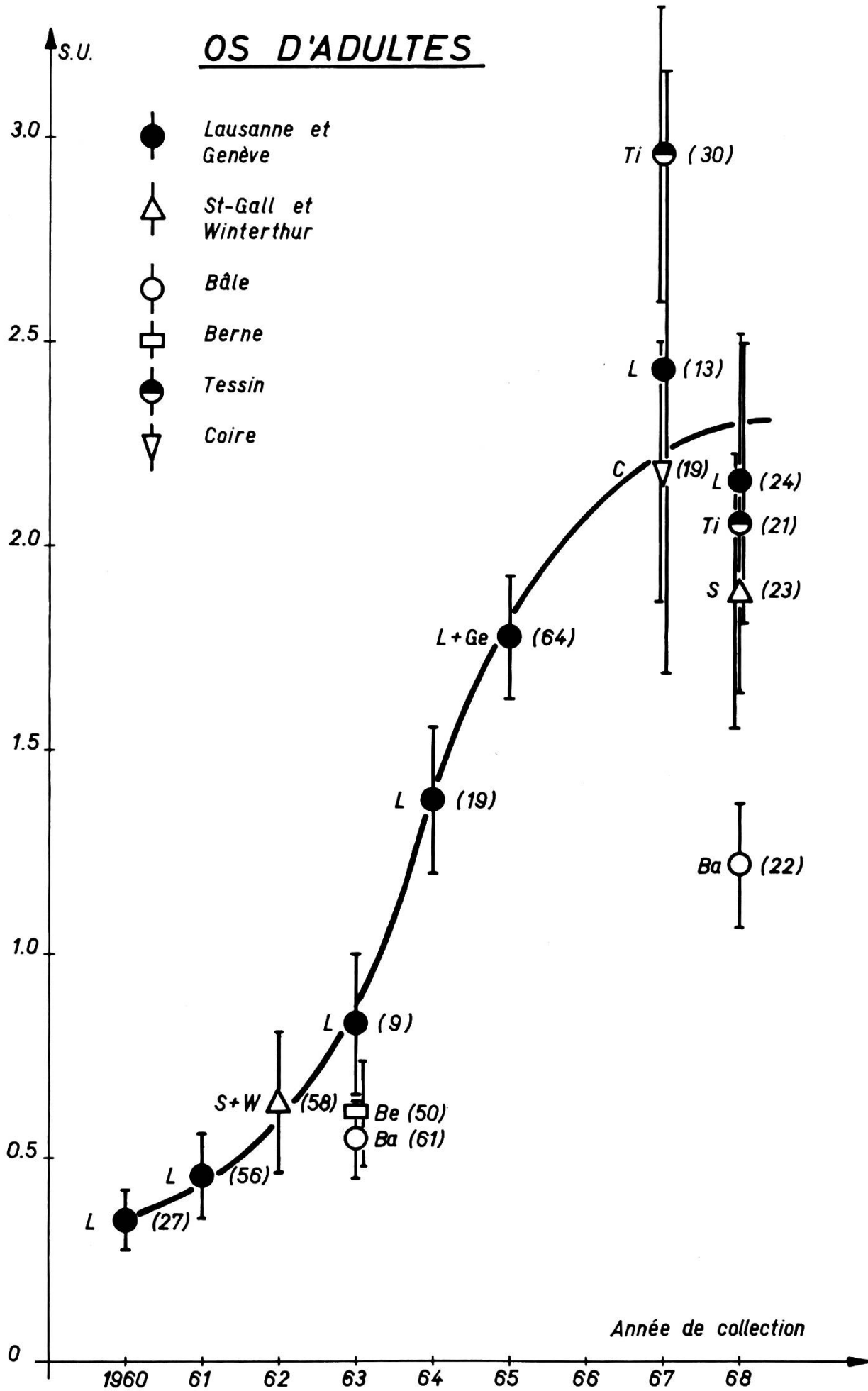


Fig. 28. Strontium-90-Analyse von Knochen Erwachsener für die Jahre 1960 bis 1968, angegeben in Strontium-Einheiten (SE). Die Zahlen in Klammern geben die Zahl der ausgeführten Analysen an

Fig. 28. Analyses du strontium-90 dans les os d'adultes pour les années de 1960 à 1968, en unités de strontium (US). Entre parenthèses: nombres d'analyses effectuées

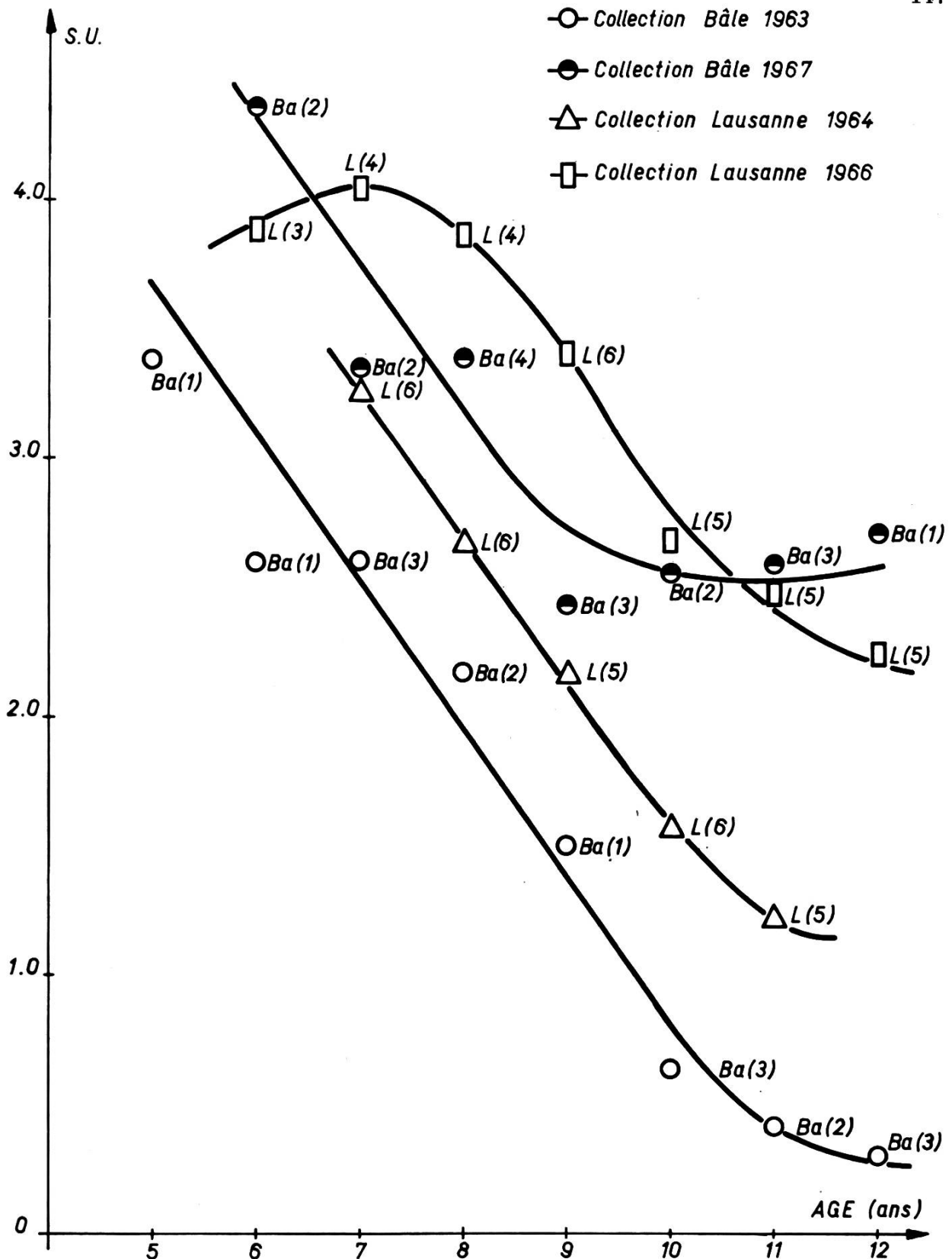


Fig. 29. Spezifische Strontium-90-Aktivität von Milchzähnen von Kindern verschiedenen Alters aus den Regionen Basel und Lausanne, angegeben in Strontium-Einheiten (SE)

Fig. 29. Activité spécifique du strontium-90 des dents de lait provenant d'enfants d'âges divers des régions de Bâle et Lausanne. Les activités sont données en unités de strontium (US)

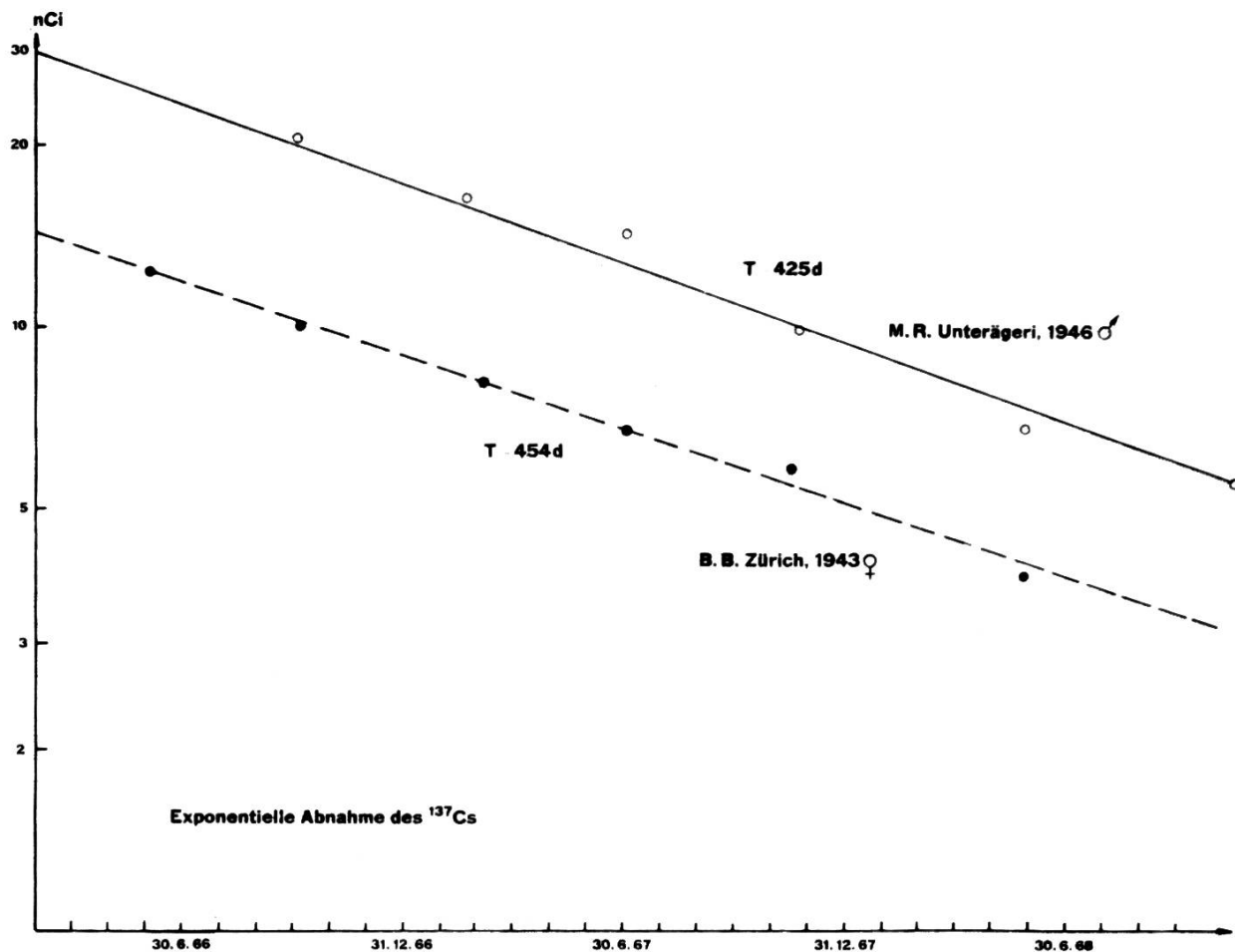


Fig. 30. Exponentieller Abfall der Caesium-137-Konzentration für eine männliche und eine weibliche Person im Zeitraum von 1966 bis 1968

Fig. 30. Décroissance exponentielle de la concentration en césium-137 pour une personne masculine et une personne féminine, pour les années de 1966 à 1968